

N° d'ordre : 59

50376
1966
8

50.376
1966
8

THÈSES

présentées à la

FACULTÉ DES SCIENCES DE L'UNIVERSITÉ DE LILLE

pour obtenir le

Grade de Docteur-Ingénieur

(Mathématiques Appliquées)

par

JEAN BOSMORIN

Ingénieur I. D. N.

Licencié en Sciences



Première Thèse : Expériences numériques sur un algorithme de recherche de la meilleure approximation polynomiale et rationnelle d'une fonction continue sur un intervalle fermé.

Deuxième Thèse : Propositions données par la Faculté

Thèses soutenues le 16 Juin 1966, devant la Commission d'Examen :

Monsieur P. BACCHUS, Président

Monsieur P. POUZET, examinateur

Monsieur J.-C. HERZ, rapporteur



030 017088 8

LISTE DES PROFESSEURS

-oOo-

DOYENS HONORAIRES

Monsieur PRUVOST P.
 Monsieur LEFEBVRE H.
 Monsieur PARRIAU M.

PROFESSEURS HONORAIRES

MM. ARNOULT, BEGHIN, BROCHARD, CAU, CHAPELLON, CHAUDRON, CORDONNIER, DEHEUVELS,
 DEHORNE, DOLLE, FLEURY, P. GERMAIN, LAMOTTE, LELONG, KOURGANOFF, Mme LELONG,
 MM. MAZET, A. MICHEL, NORMANT, PARISELLE, PASCAL, PAUTHEMIER, ROIG, ROSEAU,
 ROUBINE, WIEMANN, ZAMANSKY, KAMPE DE FERLET.

DOYEN

Monsieur TILLIEU J.

PROFESSEURS

MM. DURCHON M.	Zoologie (ASSESEUR)
HEUBEL M.	Chimie Minérale (ASSESEUR)
BACCHUS P.	Astronomie et calcul numérique
DECART M.	Physique
BERKER R.	Mécanique des Fluides
BLOCH V.	Psychophysiologie
BONNEMAN-BEMIA P.	Chimie et Physico-Chimie industrielles
BONTE A.	Géologie appliquée
BOUISSET S.	Physiologie animale
BOURIQUET R.	Botanique
CELET P.	Géologie
CORSIN P.	Paléobotanique
DECUYPER M.	Mathématiques
DEDECKER P.	Mathématiques
DEFRETIN R.	Biologie marine
DEHORS R.	Physique industrielle
DELATTRE Ch.	Géologie

MM.	DELEAU P.	Géologie
	DELHAYE M.	Chimie minérale
	DESCOMBES R.	Calcul différentiel et intégral
	GABILLARD R.	Radioélectricité et électronique.
	GERMAIN J.-E.	Chimie général et Chimie organique
	GLACET Z.	Chimie
	GONTIER G.	Mécanique des fluides
	HEIM de BALSAC H.	Zoologie
	HOCQUETTE M.	Botanique générale et appliquée
	LEBEGUE A.	Botanique, Collège Scientifique Universitaire
Mme	LEBEGUE G.	Physique
	LEBRUN A.	Radioélectricité et électronique
Mlle	LENOBLE J.	Physique
MM.	LIEBART R.	Radioélectricité
	LINDLER R.	Botanique
	LUCQUIN	Chimie
	MARION E.	Chimie
Mlle	MARQUET S.	Mathématiques
MM.	MARTINOT-LAGARDE A.	Mécanique des Fluides
	MAUREL R.	Chimie
	MENNESSIER G.	Géologie
	MONTREUIL J.	Chimie Biologie
	PEREZ J.-P.	Physique
	PHAM MAU QUAN	Mécanique générale
	POITOU G.	Algèbre supérieure
	POUZET P.	Mathématiques
	PROUVOST J.	Géologie, Résidence Académique
	ROUELLE E.	Physique et électricité industrielles
	SAVARD J.	Chimie générale
	SCHALLER F.	Zoologie
	SCHILTZ R.	Physique
Mme	SCHWARTZ M.H.	Mathématiques
MM.	TRIDOT G.	Chimie minérale appliquée
	VIVIER G.	Zoologie
	WATERLOT G.	Géologie et minéralogie
	WERTHEIMER R.	Physique
	NETTETAL M.	Zoologie

MAITRES-ASSISTANTS

MM. ABBAR M.	Physique
AMIET J.L.	Zoologie
Mlle AYATS M.C.	Mathématiques
MM. BELLET J.	Physique
BOSMORIN J.	Mathématiques
Mme BOURDELLET F.	Physique
MM. BRIDOUX M.	Chimie minérale
CALAIS J.P.	Mathématiques
CARRIER J.	Physique
Mlle CHARRET R.	Zoologie
Mmes CRUNELLE M.	Chimie minérale
DANZE	Paléobotanique
M. DEBOUDET M.	Physique
Mmes DEFFRETIN S.	Géologie
DELHAYE M.B.	Chimie minérale
M. DEPREZ G.	Physique
Mme DIXMIER S.	Mathématiques
MM. DOUKHAN J.C.	Physique
DURAMEL A.	Chimie appliquée
DYMENT A.	Mécanique des Fluides
FONTAINE J.	Radioélectricité
GROLIER J.	Géologie et minéralogie
HENRY A.	Botanique
Mme HOCQUETTE H.	Botanique
MM. JOURNAL G.	Physique générale
JOLY R.	Zoologie
Mme LECONTE M.J.	Mathématiques
Mlle LEGRAND D.	Mathématiques
M. LEROY Y.	Radioélectricité
Mlle LUSSIAA-BERDOU J.	Mathématiques
MM. MAIZIERES	Electromécanique
MESELYN J.	Physique
MIGEON M.	Chimie minérale
MONTUELLE B.	Botanique
PERTUZON E.	Physiologie animale

MM. PILLONS A.	Mathématiques
POIROT P.	Mathématiques
PONCHEL B.	Physique
PONSOLLE L.	Chimie Générale
RACZY L.	Radioélectricité
RISBOURG A.	Radioélectricité
ROUSSEAU J.	Physique
VAN HEEMS J.	Physique
WATERLOT M.	Geologie

CHEFS DE TRAVAUX

Mme BOUVIER F.	Chimie appliquée
MM. GOBERT J.	Physique
PARSY F.	Mathématiques
TISON P.	Mathématiques

SECRETARE GENERAL, ATTACHE PRINCIPAL :

Monsieur LEGROS

ATTACHES D'AMINISTRATION :

Messieurs COLLIGNON

FACON

JANS

LEROY

-x-

Je tiens à exprimer ma profonde reconnaissance

A Monsieur le Professeur BACCHIUS pour l'honneur qu'il m'a fait en acceptant de présider le Jury de thèse.

A Monsieur le Professeur POUZET, dont l'aide m'a été si précieuse dans l'élaboration de ce travail.

A Monsieur HERZ, Maître de conférence qui a été à l'origine de ce travail et qui m'a encouragé de ses conseils précieux et bienveillants.

A Monsieur VERMOT - CAUCHY dont l'assistance au centre d'études et de recherche IBM de la Gaude m'a permis de mener à bien l'exploitation du programme sur l'IBM 7090 du CER.

A Mademoiselle DRIESSENS pour la réalisation matérielle de cette thèse.

A Mesdemoiselles DELAPLACE, BESANCON et Messieurs LEGUY, RAPPE et DEBOUVRIES qui m'ont aidé pour la réalisation des annexes de ce travail.

~~~~~

Jean BOSMORIN

|     |                                                          |
|-----|----------------------------------------------------------|
| I   | Introduction                                             |
| II  | Définitions - Notations - Rappel de théorèmes classiques |
| III | Algorithme proposé                                       |
| IV  | Détermination d'une approximation de départ              |
| V   | Expériences réalisées                                    |
| VI  | Conclusion                                               |

|        |   |                                        |
|--------|---|----------------------------------------|
| Annexe | 1 | Résultats numériques                   |
| Annexe | 2 | Intérêt de l'approximation rationnelle |
| Annexe | 3 | Organigramme                           |
| Annexe | 4 | Programme                              |
| Annexe | 5 | Références                             |

I

INTRODUCTION

~~~~~

Il est bien connu que pour une machine possédant les 4 opérations sont seuls directement calculables parmi les fonctions usuelles de l'analyse classique les polynômes et les fractions rationnelles.

Pour une fonction continue $f(x)$ quelconque, il est nécessaire de lui substituer une expression plus simple $F(a,x)$ calculable aisément sans que l'erreur introduite $f(x) - F(a,x)$ (ou erreur de méthode) soit prohibitive.

C'est ainsi que se pose le problème de l'approximation.

Il conviendra de définir la nature du problème et les conditions et restrictions à lui apporter pour qu'il ait une solution dans le cadre de l'approximation au sens de Tchebycheff. (II)

Pour une famille de fonctions $F(a,x)$ donnée, nous présenterons l'algorithme expérimenté qui permet de calculer l'ensemble a^* des paramètres a donnant la meilleure approximation de $f(x)$ au sens de Tchebycheff. (III)

Un certain nombre d'expériences réalisées sur des fonctions $f(x)$ connues et pour deux familles $F(a,x)$ qui sont respectivement des polynômes en x et des fractions rationnelles (quotient de deux polynômes en x) montre l'intérêt de ces dernières pour l'approximation au sens de la norme choisie. (IV)

II

DEFINITIONS - NOTATIONS - RAPPEL de THEOREMES CONNUS

~~~~~

II - 1            Soit  $X$  l'ensemble des points de l'intervalle fermé  
                   $(b,c)$  de la droite réelle  $R$

$f(x)$  une fonction continue à valeurs réelles de  $x \in X$

$F(a,x)$  une fonction continue à valeurs réelles de  $x \in X$ ,  
dépendant de  $n+1$  paramètres  $a_0, a_1, \dots, a_n$   
que nous pouvons considérer comme les coordonnées  
d'un point  $a$  de  $R^{n+1}$ .

II - 2            Etant données deux fonctions continues  $f(x)$  et  $g(x)$ ,  
                  on définit la distance  $\rho$  entre  $f$  et  $g$  à  
                  partir d'une norme qui sera ici la norme au sens  
                  de Tchebycheff, ou norme infinie :

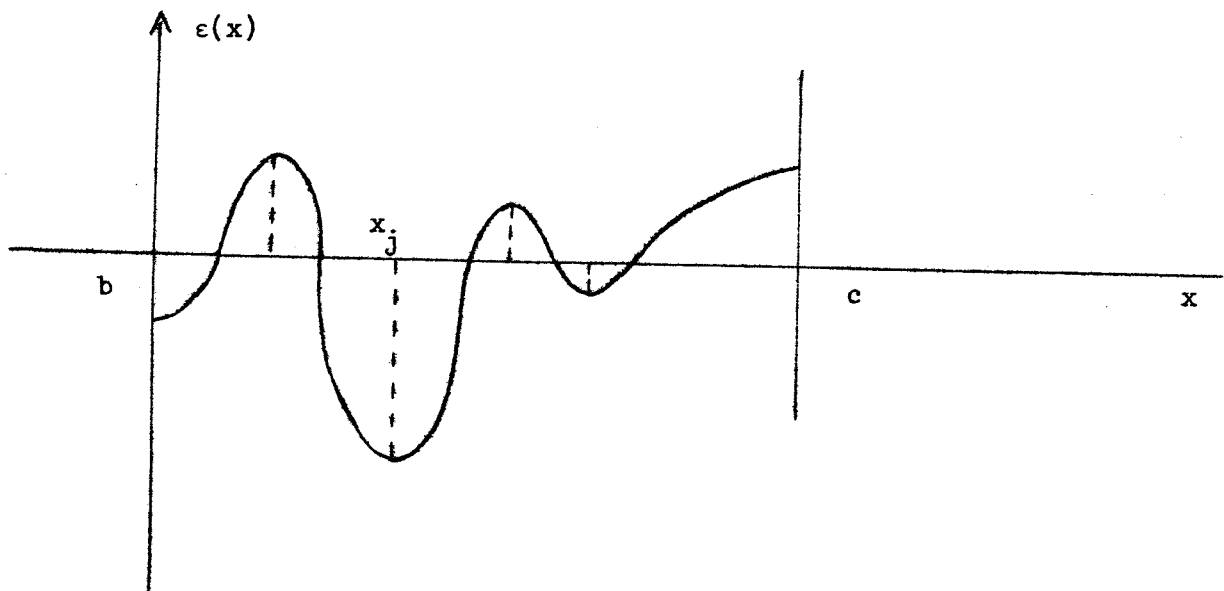
$$\rho = \text{Max}_{x \in X} | f(x) - g(x) |$$

II - 3

On appellera écart  $\epsilon(x_i)$  en un point  $x_i \in X$ , entre  $f(x)$  et  $g(x)$  la différence  $\epsilon(x_i) = f(x_i) - g(x_i)$

La courbe représentative de  $\epsilon(x)$  sur  $X$  sera appelée la courbe d'écart (ou d'erreur).

Les extrema de  $\epsilon(x)$  (s'il y en a) se produiront en des points  $x_j$  dits points critiques



II - 4

Pour une fonction continue donnée  $f(x)$  nous dirons qu'une famille  $F(a,x)$  de fonction continue possède des éléments dits "meilleure approximation" de  $f$  au sens de Tchebycheff s'il existe des  $a^* \in \mathbb{R}^{n+1}$  tels que

$$\left\{ \begin{array}{l} \text{Max}_{x \in X} | f(x) - F(a^*, x) | \leq \text{Max}_{x \in X} | f(x) - F(a, x) | \\ \\ \forall a \in \mathbb{R}^{n+1} \end{array} \right.$$

ou encore telle que

$$\text{Max}_X | f(x) - F(a^*, x) | = \text{Min}_{a \in \mathbb{R}^{n+1}} \{ \text{Max}_{x \in X} | f(x) - F(a, x) | \}$$

II - 5

Nous avons limité nos expériences à deux familles de fonctions  $F(a,x)$

A - Les polynômes en  $x$  de degré  $\leq n$

$$P_n(a,x) = a_0 + a_1 x + \dots + a_n x^n$$

La famille de fonctions choisies est linéaire

$$( F(a_1 + a_2, x) = F(a_1, x) + F(a_2, x) )$$

B - Les fractions rationnelles de "degré" n

$$\left\{ \begin{array}{l} R_n(a,x) = R_p^q(a,x) = \frac{a_0 + a_1x + \dots + a_px^p}{a_{p+1} + a_{p+2}x + \dots + a_{p+q}x^{q-1} + x^q} \\ \text{avec } p + q = n \text{ et } a_{p+1} + \dots + a_{p+q}x^{q-1} + x^q \neq 0 \end{array} \right.$$

La famille de fonctions choisies est non linéaire.

Dans toute la suite  $F_n(a,x)$  sera utilisé pour désigner indistinctement soit  $P_n(a,x)$  soit  $R_n(a,x)$ .

On notera que dans  $R_p^q(a,x)$  le coefficient de  $x^q$  a été pris égal à 1 pour éviter la redondance des coefficients (c'était du point de vue du calcul la solution la plus simple).

II - 6

Rappels.

Un certain nombre de théorèmes établis par la Vallée-Poussin, Tchebycheff, etc... ont permis d'établir qu'étant donnée une fonction  $f(x)$  continue sur  $X$ , pour les deux familles de fonctions considérées :

1- Il existe une fonction de meilleure approximation

$$F(a^*, x)$$

2-  $F(a^*, x)$  est unique

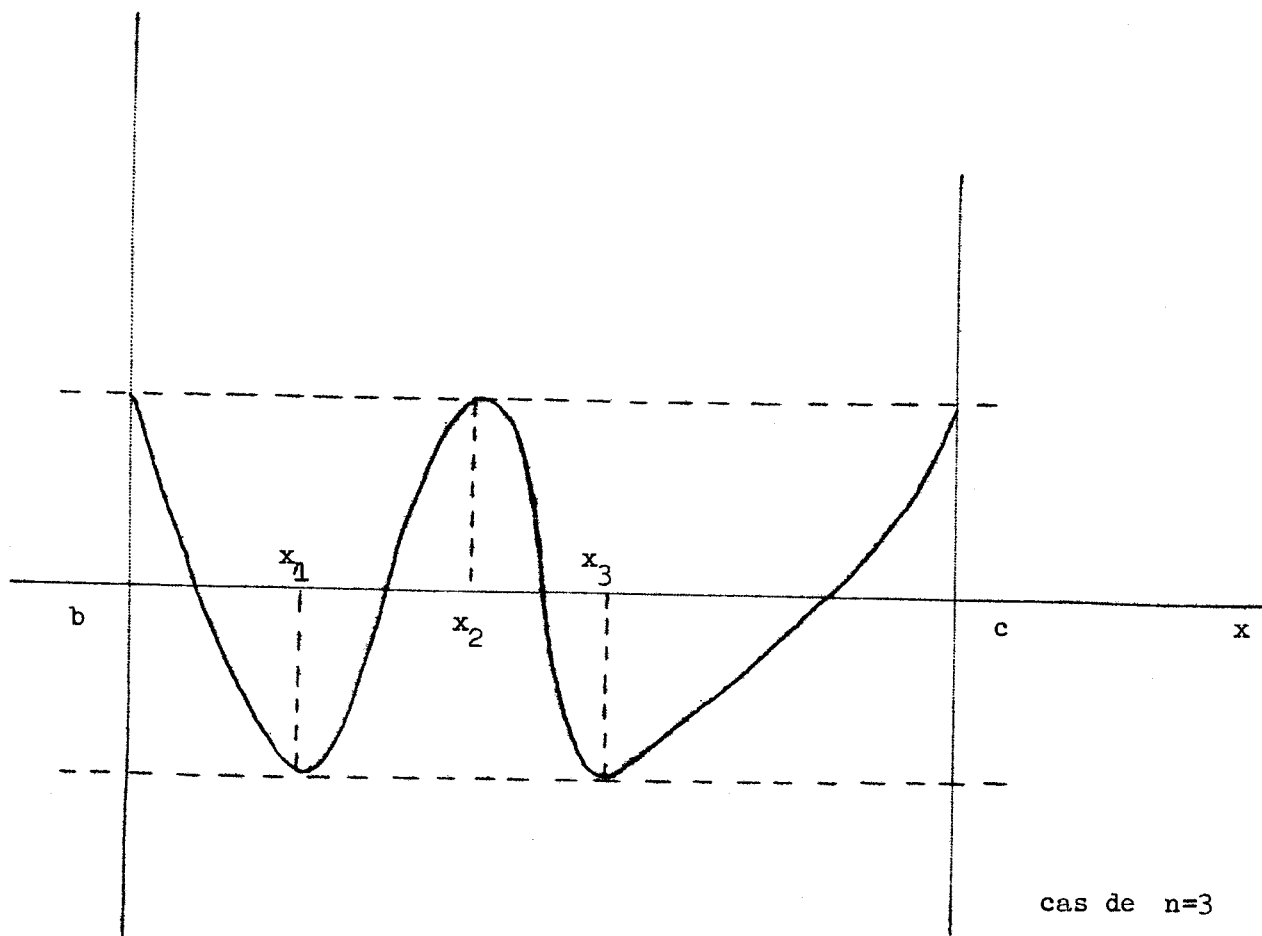
3-  $F(a^*, x)$  possède la propriété caractéristique que sa courbe d'écart est  $n$ -alternée c'est-à-dire présente  $n+2$  extrema égaux en valeur absolue (et de signes alternés) en  $n+2$  points critiques

$$\varepsilon(x_0) = - \varepsilon(x_1) = \dots = (-1)^{n+1} \varepsilon(x_{n+1}) = \lambda$$

$$\text{avec } |\lambda| = \max_{x \in X} | f(x) - F [ a^*, x ] |$$

II - 7

Très souvent,  $b$  et  $c$  extrémités de  $X$  sont eux-mêmes points critiques et nous aurons alors la forme dite canonique de la courbe d'erreur.



Ainsi pour une approximation polynomiale on se trouve toujours dans le cas canonique si  $\frac{d^{n+1}f(x)}{dx^{n+1}}$  dérivée  $(n+1)^e$  de  $f(x)$  ne s'annule pas sur  $X$ .

Dans la plupart des cas,  $\epsilon(x)$  est canonique. Un cas d'exception est celui des fonctions paires ou impaires pour  $X$  symétrique par rapport à  $x=0$  (donc du type  $(-b, +b)$ ).

Cas des fonctions paires et des fonctions impaires

1- Raisonement dans le cas des polynômes

Cas pair

$f$  continue sur  $[-b, +b]$  .

On cherche  $P_N(a, x)$  , il existe  $a^*$  unique tel que

$$\rho(f) = \text{Max}_{[-b, b]} | f(x) - P_N(a^*, x) | = \text{Min}_a \text{Max}_{[-b, b]} | f(x) - P_N(a, x) |$$

On a  $N+2$  points critiques.

$$\text{Parité} \rightarrow \rho(f) = \text{Max}_{[-b, b]} | f(x) - P_N(a^*, -x) |$$

$$\text{Unicité} \rightarrow P_N(a^*, -x) = P_N(a^*, x) \text{ donc } P_N \text{ pair}$$

$$\epsilon^*(x) = f(x) - P_N(a^*, x) \text{ est paire}$$

donc 0 est nécessairement point critique et il y a un nombre impair de points critiques.

On doit considérer  $P_N(a^*, x)$  comme la meilleure approximation dans la famille des polynômes de degré  $\leq 2n+1$  si  $N = 2n$  et on a  $2n+3$  points critiques.

Dans la pratique on va chercher la meilleure approximation sur  $[0, b]$  en considérant la variété de dimension  $n+1$  engendrant les polynômes  $P_N(a, x) = \sum_{i=0}^n a_i (x^2)^i$  . Il y a existence et unicité de  $a^*$  et on a  $n+2$  points critiques, l'origine et  $b$  étant points critiques.

Cas impair

Le raisonnement ci-dessus montre que  $P_N(a^*, x)$  est impair et l'on a,  $\varepsilon^*(x)$  étant impaire,  $\varepsilon(0) = 0$  et un nombre pair de points critiques.

$P_N(a^*, x)$  est donc la meilleure approximation dans la famille des polynômes de degré  $\leq 2n+2$  si  $N = 2n+1$  et on a  $2n+4$  points critiques.

Dans la pratique on va chercher la meilleure approximation sur  $[0, b]$  en considérant la variété de dimension  $n+1$  engendrant les polynômes

$$P_{2n+1}(a, x) = \sum_{i=0}^n a_i x^{2i+1}$$

il y a existence et unicité de la meilleure approximation. On a  $n+2$  points critiques. L'origine n'étant pas point critique manifestement (en effet on a  $\forall a \varepsilon(0) = f(0) - P_{2n+1}(a, 0) = 0$ ).



2- Dans le cas des fractions rationnelles.

Fonction paire :

$f$  continue sur  $[-b, +b]$  .

$$\text{On cherche } R_N(a, x) = \frac{P_{2p}(x)}{Q_{2q}(x)}$$

}  $a^*$  unique tel que

$$\rho(f) = \text{Max}_{[-b, +b]} | f(x) - R_N(a^*, x) | = \text{Min}_a \text{Max}_{[-b, +b]} | f(x) - R_N(a, x) |$$

La parité entraîne que  $\rho(f) = \text{Max}_{[-b, +b]} | f(x) - R_N(a^*, -x) |$

L'unicité entraîne donc que  $R_N(a^*, -x) = R_N(a^*, x)$

donc  $R_N$  est paire.

$\varepsilon^*(x) = f(x) - R_N(a^*, x)$  est paire.

Deux cas sont à considérer :

On peut considérer  $R_N(a^*, x)$  comme la meilleure approximation de  $f(x)$  par  $\frac{P(x)}{Q(x)}$

où

a)

$\left\{ \begin{array}{l} P(x) \text{ est un polynôme pair appartenant à} \\ \text{l'ensemble des polynômes de degré } \leq 2p+1 \\ \text{et } Q(x) \text{ est un polynôme pair appartenant à} \\ \text{l'ensemble des polynômes de degré } \leq 2q \end{array} \right.$

ou bien

b)  $\left\{ \begin{array}{l} P(x) \text{ est un polynôme pair appartenant à} \\ \text{l'ensemble des polynômes de degré } \leq 2p \\ \text{et } Q(x) \text{ est un polynôme pair appartenant à} \\ \text{l'ensemble des polynômes de degré } \leq 2q+1 \end{array} \right.$

Dans les deux cas, ceci implique que le nombre de points critiques est au moins égal à  $2p + 2q + 3$  et que  $x = 0$  est point critique.

En pratique, on utilise l'algorithme sur l'intervalle  $[0, b]$  en considérant la variété de dimension  $p + q + 1$  qui engendre les fractions rationnelles

$$R(a, x) = \frac{\sum_{i=0}^p a_i (x^2)^i}{\left( \sum_{j=0}^{q-1} b_j (x^2)^j \right) + x^{2q}}$$

On a  $p+q+2$  points critiques dont 0 et B.

Fonction impaire :

Le même raisonnement que ci-dessus nous montre que  $R_N(a, x)$  est impair et que par conséquent  $\varepsilon^*(x)$  est impaire et que l'on a un nombre pair de points critiques puisque  $\varepsilon(0) = 0$ .

$R_N(a^*, x)$  est la meilleure approximation dans les ensembles de fractions rationnelles

$$\frac{P_{2p+1}}{P_{2q}}, \frac{P_{2p+2}}{P_{2q}}, \text{ ou } \frac{P_{2p}}{P_{2q+1}}, \frac{P_{2p}}{P_{2q+2}}$$

et l'on a  $2p + 2q + 4$  points critiques.

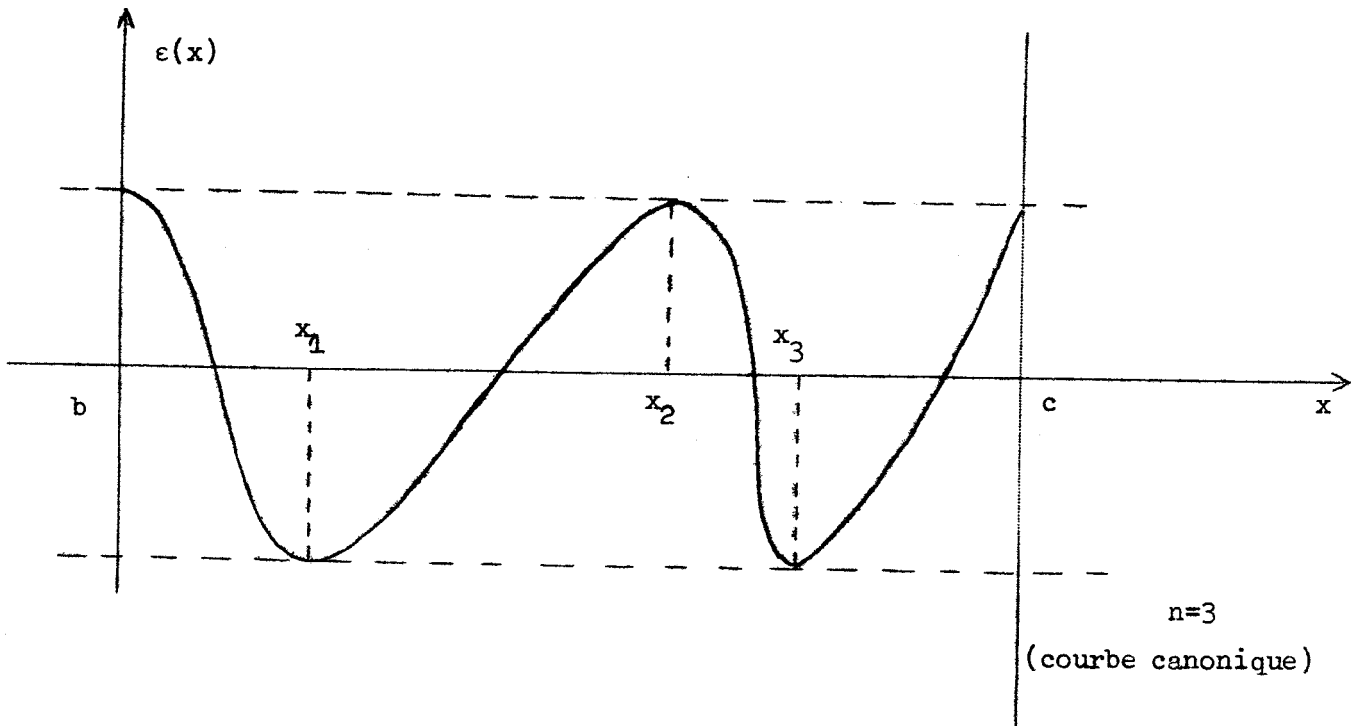
Pratiquement on cherche la meilleure approximation sur  $[0, b]$  en considérant la variété de dimension  $p + q + 1$  engendrant les fractions rationnelles

$$\frac{\sum_{i=0}^p a_i x^{2i+1}}{\left(\sum_{j=0}^{q-1} b_j x^{2j}\right) + x^{2q}} \quad \text{ou} \quad \frac{\sum_{i=0}^p a_i x^{2i}}{\left(\sum_{j=0}^{q-1} b_j x^{2j+1}\right) + x^{2q+1}}$$

Il y a existence et unicité de la meilleure approximation et on a  $p + q + 2$  points critiques,  $x = 0$  n'étant pas point critique.

III - 1 Equations de Tchebycheff

III-1-1 Les équations de Tchebycheff traduisent la n-alternance de la courbe des écarts qui caractérise  $F(a^*, x)$



$$\epsilon(x_i) + \epsilon(x_{i+1}) = 0 \quad i = 0, 1, \dots, n$$

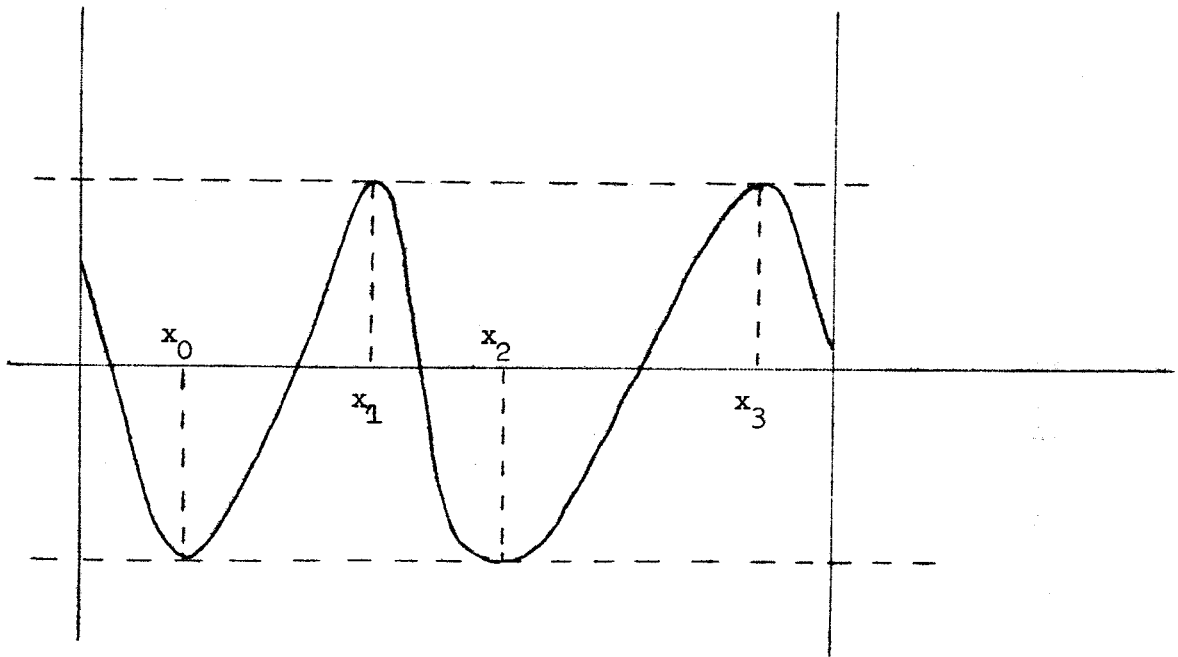
$$\left\{ \begin{array}{l} \frac{\partial \epsilon(x_j)}{\partial x} = 0 \\ x_0 = b \\ x_{n+1} = c \end{array} \right. \quad j = 1, \dots, n$$

soient  $2n+1$  équations

les inconnues étant  $\left\{ \begin{array}{l} 1- \text{les } n+1 \text{ paramètres } a_i \\ 2- \text{les } n \text{ points critiques } x_i \end{array} \right.$

III-1-2

Cas non canonique - Par exemple :



$$\left\{ \begin{array}{ll} \varepsilon(x_i) + (x_{i+1}) = 0 & i = 0, 1, \dots, n \\ \frac{\partial \varepsilon}{\partial x} (x_j) = 0 & j = 0, \dots, n+1 \end{array} \right.$$

soient  $2n+3$  équations

à  $2n+3$  inconnues  $\left\{ \begin{array}{l} n+1 \text{ paramètres } a_j \\ n+2 \text{ points critiques } x_i \end{array} \right.$

III - 2 Algorithme

III-2-1

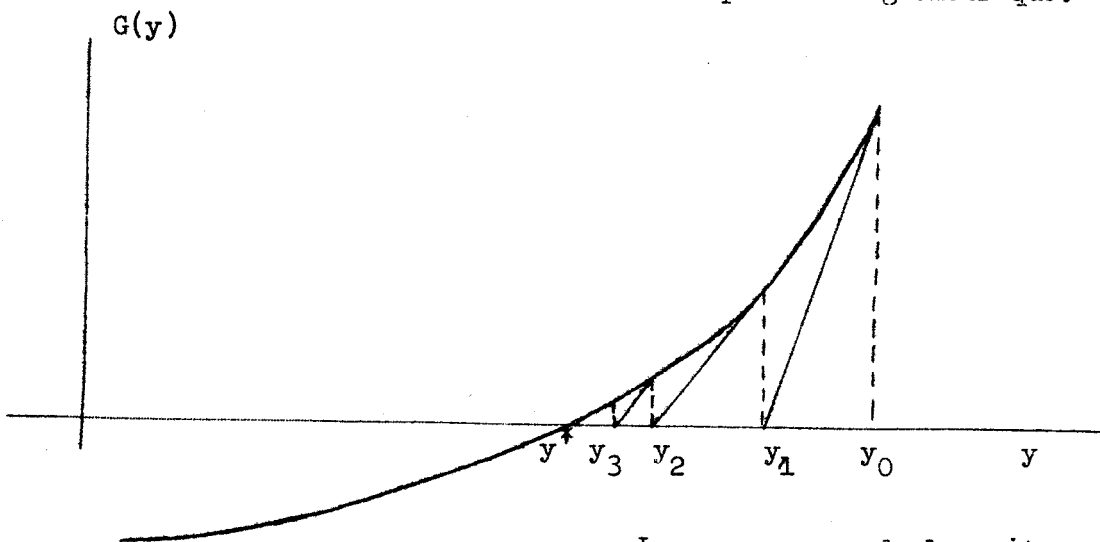
On s'est particulièrement intéressé au cas canonique. L'algorithme proposé permet de trouver une solution au système III-1-1 par une méthode itérative.

Dans le cas d'une équation à une inconnue, la méthode de Newton permet, à partir d'une approximation de départ  $y_0$ , de résoudre une équation non linéaire

$G(y) = 0$  en appliquant la formule de récurrence

$$y_{i+1} = y_i - \frac{G(y_i)}{\frac{dG}{dx}(y_i)}$$

Interprétation géométrique.



La convergence de la suite  $y_0, y_1, y_2, \dots, y_{i+1}, \dots$  vers la solution  $y^*$  cherchée est quadratique. Celle-ci est assurée si  $y_0$  est une assez bonne approximation de  $y$ .

III-2-2

On peut généraliser cette méthode au cas d'un système des  $2n-1$  équations

$$\left\{ \begin{array}{l} s_i(y) = 0 \\ i = 0, 1, \dots, 2n-2 \end{array} \right. \quad \text{ou } S(Y) = 0$$

en appelant  $Y = \{y_0, y_1, \dots, y_{2n-2}\}$  les inconnues de ce système définissent la matrice

$S'(Y) =$

|                                          |                                          |                                          |         |                                               |
|------------------------------------------|------------------------------------------|------------------------------------------|---------|-----------------------------------------------|
| $\frac{\partial s_0}{\partial y_0}$      | $\frac{\partial s_0}{\partial y_1}$      | $\frac{\partial s_0}{\partial y_2}$      | , ..... | $\frac{\partial s_0}{\partial y_{2n-2}}$      |
| $\frac{\partial s_1}{\partial y_0}$      | $\frac{\partial s_1}{\partial y_1}$      | $\frac{\partial s_1}{\partial y_2}$      | , ..... | $\frac{\partial s_1}{\partial y_{2n-2}}$      |
| .....                                    |                                          |                                          |         |                                               |
| .....                                    |                                          |                                          |         |                                               |
| $\frac{\partial s_{2n-2}}{\partial y_0}$ | $\frac{\partial s_{2n-2}}{\partial y_1}$ | $\frac{\partial s_{2n-2}}{\partial y_2}$ | , ..... | $\frac{\partial s_{2n-2}}{\partial y_{2n-2}}$ |

et les vecteurs colonnes

$$Y^{(K)} = \begin{pmatrix} y_0^{(k)} \\ y_1^{(k)} \\ y_2^{(k)} \\ \dots \\ \dots \\ y_{2n-2}^{(k)} \end{pmatrix} \quad \text{et} \quad \Delta Y^{(K)} = \begin{pmatrix} y_0^{(K+1)} - y_0^{(K)} \\ y_1^{(K+1)} - y_1^{(K)} \\ y_2^{(K+1)} - y_2^{(K)} \\ \dots \\ \dots \\ y_{2n-2}^{(K+1)} - y_{2n-2}^{(K)} \end{pmatrix}$$

Alors la formule de récurrence de Newton s'écrit sous forme matricielle

$$Y^{(K+1)} = Y^{(K)} - S'^{-1}(Y^{(K)}) \times S(Y^{(K)})$$

ou encore

$$\boxed{S'(Y^{(K)}) \times \Delta Y^{(K)} + S(Y^{(K)}) = 0}$$

ystème linéaire en  $\Delta Y^{(K)}$  dont la solution  $\Delta Y^{(K)}$  nous donnera ensuite  $Y^{(K+1)} = Y^{(K)} + \Delta Y^{(K)}$  d'où la récurrence.

Encore faudra-t-il disposer d'une valeur de départ ( voir § ) pour  $Y^{(0)}$ .

Cette méthode a été exposée et sa convergence étudiée par Kantorovitch (voir dans Henrici - Discrete method for differential equations).



III - 3

L'application des formules du III-2-2 aux équations de Tchebycheff du III-1-1 conduit à résoudre à chaque itération le système linéaire en  $\Delta x_i^{(K)}$  et  $\Delta a_j^{(K)}$  suivant :

$$\left[ \frac{\partial \epsilon}{\partial x} (x_i^{(K)}, a^{(K)}) \Delta x_i^{(K)} + \frac{\partial \epsilon}{\partial x} (x_{i+1}^{(K)}, a^{(K)}) \Delta x_{i+1}^{(K)} \right] + \sum_{j=0}^n \left[ \frac{\partial \epsilon (x_i^{(K)}, a^{(K)})}{\partial a_j} + \frac{\partial \epsilon (x_{i+1}^{(K)}, a^{(K)})}{\partial a_j} \right] \Delta a_j^{(K)} + \left[ \epsilon (x_i^{(K)}, a^{(K)}) + \epsilon (x_{i+1}^{(K)}, a^{(K)}) \right] = 0 \quad (1)$$

$i=0, 1, \dots, n$

avec  $\left\{ \begin{array}{l} x_0 = b \\ x_{n+1} = c \end{array} \right.$

$$\frac{\partial^2 \epsilon}{\partial x^2} (x_i^{(K)}, a^{(K)}) \Delta x_i^{(K)} + \sum_{j=0}^n \left[ \frac{\partial^2 \epsilon (x_i^{(K)}, a^{(K)})}{\partial x \partial a_j} \right] \dots \dots \dots \dots \Delta a_j^{(K)} + \frac{\partial \epsilon}{\partial x} (x_i^{(K)}, a^{(K)}) = 0 \quad (2)$$

$i = 1, 2, \dots, n$

Pour des  $x_i^{(K)}$  et  $a^{(K)}$  assez voisins de la solution, les quantités  $\frac{\partial}{\partial x} \epsilon(x, a)$  qui sont nulles pour  $x = x_i^*$  et  $a = a^*$  seront petites donc on peut négliger

$$\frac{\partial \epsilon_i^{(K)}}{\partial x} \Delta x_i^{(K)} \quad \text{dans (1),}$$

et le système s'écrit alors :

$$\sum_{j=0}^n \left[ \frac{\partial \epsilon(x_i^{(K)}, a^{(K)})}{\partial a_j} + \frac{\partial \epsilon(x_{i+1}^{(K)}, a^{(K)})}{\partial a_j} \right] \Delta a_j$$

$$= - \left[ \epsilon(x_i^{(K)}, a^{(K)}) + \epsilon(x_{i+1}^{(K)}, a^{(K)}) \right]$$

$i = 0, 1, \dots, n$  (3)

avec  $\begin{cases} x_0 = b \\ x_{n+1} = c \end{cases}$

$$\frac{\partial^2 \epsilon(x_i^{(K)}, a^{(K)})}{\partial x^2} \Delta x_i^{(K)} + \sum_{j=0}^n \frac{\partial^2 \epsilon(x_i^{(K)}, a^{(K)})}{\partial x \partial a_j} \Delta a_j^{(K)}$$

$$= - \frac{\partial \epsilon(x_i^{(K)}, a^{(K)})}{\partial x}$$

$i = 1, 2, \dots, n$  (4)



ou encore pour alléger l'écriture :

$$\begin{bmatrix} 0 & M_{12} \\ D_{21} & M_{22} \end{bmatrix} \times \begin{bmatrix} Y_1 \\ Y_2 \end{bmatrix} = \begin{bmatrix} B_1 \\ B_2 \end{bmatrix}$$

On peut ainsi procéder en trois temps :

1° Résoudre le système  $M_{12} Y_2 = B_1$

2° Calculer  $M_{22} Y_2$

3° Résoudre le système diagonal  $D_{12} Y_1 = B_2 - M_{22} Y_2$

Seule la résolution du système des  $n+1$  équations linéaires en  $Y_2$  pose un petit problème. (Nous avons utilisé une méthode de Jordan programmée en double précision).

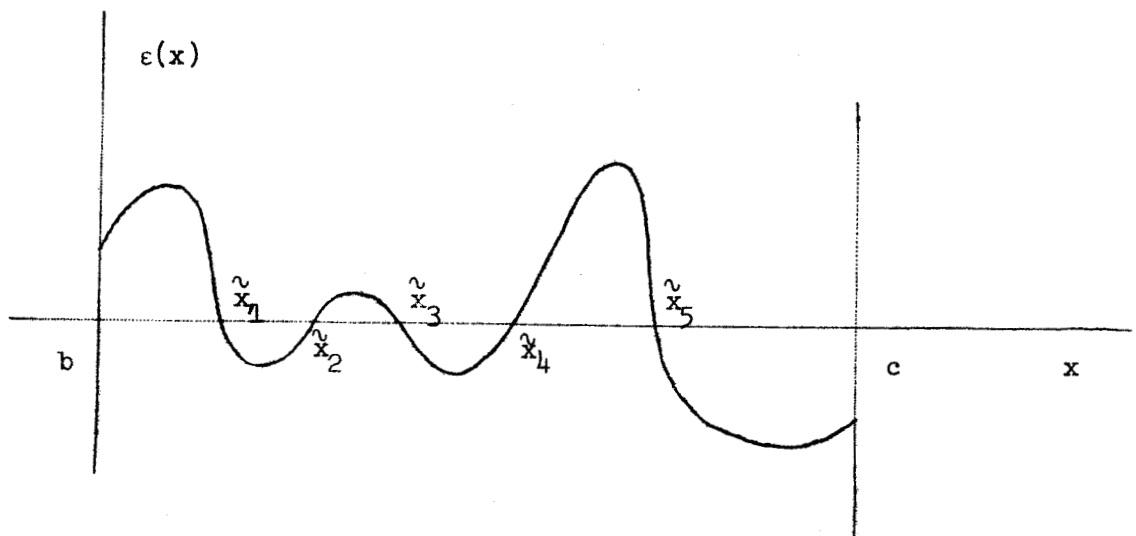
### III - 4 Détermination d'une approximation de départ

On ne connaît pas, en général, de bonne approximation  $F(a^{(0)}, x)$  pouvant être utilisée dans la méthode de Newton ci-dessus.

Nous avons procédé par interpolation de  $f(x)$  dans  $X$ .

#### III-4-1 Approximation par interpolation

$f(x)$  étant donnée, ainsi que  $X$ , si nous pouvons construire une fonction  $F_n(a, x)$  qui "coïncide" avec  $f(x)$  en  $n+1$  points sur  $X$ , nous pouvons espérer que  $F_n(a, x)$  ne s'écartera "pas trop" de  $f(x)$  dans l'intervalle considéré.



On connaît un certain nombre d'algorithmes d'interpolation pour résoudre ce problème et qui donnent une borne de l'erreur (  $\text{Max}_j \epsilon(\tilde{x}_j)$  ), mais presque exclusivement dans le cas où  $F_n(a, x)$  est un polynôme  $P_n(a, x) = \sum_{i=0}^n a_i x^i$ .

Etant donnés  $n+1$  points distincts  $(x_0, x_1, \dots, x_n) \in X$  et  $n+1$  valeurs arbitraires  $y_0, y_1, \dots, y_n$ , il existe un polynôme unique  $P_n(x)$  solution de

$$\begin{cases} P_n(\tilde{x}_i) = \tilde{y}_i \\ i = 0, 1, 2, \dots, n \end{cases}$$

L'erreur de méthode  $E_n$  peut être évaluée si l'on peut connaître une borne de  $f^{(n+1)}(x)$  sur  $X$

$$\left\{ \begin{aligned} E_n &= \frac{(x - \tilde{x}_0)(x - \tilde{x}_1) \dots (x - \tilde{x}_n)}{(n+1)!} f^{(n+1)}(\xi) \\ \xi &\in X \end{aligned} \right.$$

Cette expression permet de voir que  $n$  et  $f(x)$  étant donnés et par conséquent  $f^{(n+1)}$  déterminé on peut, en choisissant les  $\tilde{x}_i$ , zéros du polynôme de Tchebycheff, obtenir le polynôme de meilleure interpolation sur  $X$ .

Dans le cas où  $F_n(a, x)$  est une fraction rationnelle  $R_n(a, x)$  la solution du système d'interpolation

$$\left\{ \begin{array}{l} R_{p+q}(\tilde{x}_i) = f(\tilde{x}_i) \\ i = 0, 1, \dots, p+q \end{array} \right.$$

où les  $\tilde{x}_i$  sont ici aussi les zéros du polynôme de Tchebycheff, est obtenue en résolvant le système linéaire

$$\left\{ \begin{array}{l} \sum_{j=0}^p a_j \tilde{x}_i^j - f(\tilde{x}_i) - \sum_{j=0}^q b_j \tilde{x}_i^j = 0 \\ i = 0, 1, \dots, p+q \\ b_q = 1 \end{array} \right.$$

En général on ne sait pas s'il existe une telle fraction rationnelle d'interpolation. Si elle existe elle peut être réductible et même discontinue sur l'intervalle d'approximation. La méthode est donc incertaine mais la plus simple à utiliser.

Aucune évaluation simple de  $E_n$  n'est connue. Cependant dans la plupart des cas l'interpolation de  $f(x)$  par  $R_n(x, x)$  donne un résultat valable.

III-4-2 Conclusion

Pour les deux familles (Polynômes et fractions rationnelles) nous avons utilisé la même méthode pour obtenir une approximation de départ :

Nous étant donné  $f(x)$  et  $X$  nous avons déterminé par une interpolation aux abscisses

$$\tilde{x}_i \mid T_{n+1}(\tilde{x}_i) = 0$$

c'est-à-dire 
$$\tilde{x}_i = -\cos \frac{(i+\frac{1}{2})\pi}{n+1}$$

$i = 0, 1, \dots, n$  l'ensemble  $a^{(0)}$  des paramètres  $a_1^{(0)}, a_1^{(0)}, \dots, a_n^{(0)}$  de  $F(a, x)$ .

Les  $x_i^{(0)}$  points critiques de départ ont été calculés de la même façon comme extrema de  $T_{n+1}(x)$

$$x_i^{(0)} = \cos \frac{i\pi}{n+1}$$

$$i = n+1, n, \dots, 1, 0 .$$



IV

EXPERIENCES REALISEES

-----

IV - 1

Un grand nombre d'expériences ont été réalisées sur un ordinateur IBM 7090 (CS de la Cie IBM-France, place Vendôme et CER-IBM - La Gaude).

Nous avons étudié entre autres les fonctions

1-  $\sqrt{x}$

2-  $e^{-x}$

3-  $\text{Ch } x$

4-  $\text{Cos } x$

5-  $\text{Log } x$

6-  $2^x$

7-  $\frac{1}{\sqrt{2\pi}} e^{-\frac{x^2}{2}}$

Nous avons choisi ces fonctions en vue de l'utilisation éventuelle des résultats obtenus dans la constitution d'une bibliothèque de sous-programmes pour un calculateur et parce qu'elles étaient pour la plupart standards de la bibliothèque 7090.

IV - 2

Les intervalles X choisis étaient classiques

$[0, \pi/2]$  ou  $[0, \pi/4]$  pour les fonctions  
trigonométriques

$[0, 1]$  pour  $\frac{1}{\sqrt{2\pi}} e^{-\frac{x^2}{2}} \dots$

$[\frac{1}{2}, 1]$  pour  $\frac{\log x}{e}$  etc ...

Nous avons systématisé le calcul de façon à essayer  
(pour n donné), toutes les combinaisons de degré pour p  
et q avec  $p+q = 1, 2, \dots$  jusqu'à la limite de la double  
précision ( $10^{-15}$ ) du 7090.

IV - 3 Résultats obtenus

Nous ne pouvons joindre ici les tableaux des coefficients  
des fonctions  $F(a^*, x)$  obtenus pour toutes les fonctions  $f(x)$   
essayées.

Nous ne donnons ce détail que pour la fonction  $\text{Cos}(\frac{\pi}{2} x)$   
pour  $x \in [0, 1]$ . (Annexe 1)

L'intérêt de l'approximation par fraction rationnelle  
apparaît dans les tableaux de l'annexe 2 qui donnent  $\rho^*$  en  
fonction de p et q pour  $p+q = 1, 2, \dots$  et les abaques sur  
lesquels nous avons porté les  $\log_{10} \frac{1}{\rho^*}$ .

Dans les exemples étudiés (voir Annexe 2) pour un degré  
donné l'erreur d'approximation la plus faible est donnée par  
une fraction rationnelle.

## VI

### CONCLUSION

-----

Un certain nombre d'algorithmes a été proposé ces dernières années (Remez, Machly, Hornecker etc...).

L'intérêt des expériences que nous avons réalisées était d'essayer d'automatiser la recherche de la meilleure combinaison de  $p$  et  $q$  à  $p+q$  fixé.

Il s'est trouvé des cas où l'algorithme divergeait..

L'approximation de départ joue un rôle important dans la convergence de la méthode de Newton. Pour les polynômes on a toujours eu convergence : l'approximation de départ choisie est donc satisfaisante. Dans le cas des fractions rationnelles, on a pu observer des cas de divergence de l'algorithme de Newton. On peut penser alors que l'approximation de départ par une fraction rationnelle d'interpolation sur les zéros du polynôme de Tchebycheff n'est pas satisfaisante.

La convergence du procédé est quadratique et  $R(a^*, x)$  a été obtenue en 6 ou 8 itérations en général.

Le programme qui a été écrit en Fortran II et FAP double précision supposait, ce qui est le cas courant, que  $b$  et  $c$ , bornes de  $X$  étaient points critiques. On trouvera ce programme en annexe III précédé d'un organigramme sommaire.

Annexe 1

-----

Meilleure approximation de  $\cos\left(\frac{\pi}{4}x\right)$

dans l'intervalle  $X = [-1, +1]$

|         |                                                                                                          |                               |
|---------|----------------------------------------------------------------------------------------------------------|-------------------------------|
| $N = 2$ | $P_2(x) = 0.99808 - 0.29289x^2$                                                                          | $\rho^* = 1.92 \cdot 10^{-3}$ |
| $N = 4$ | $P_4(x) = 0.9999900 - 0.30824510x^2 + 0.01537182x^4$                                                     | $\rho^* = 9.96 \cdot 10^{-6}$ |
|         | $\frac{P_2(x)}{Q_2(x)} = \frac{18.55946 - 4.729332x^2}{18.55918 + x^2}$                                  | $\rho^* = 1.52 \cdot 10^{-5}$ |
| $N = 6$ | $P_6(x) = 0.999999724 - 0.3084242536x^2 + 0.0158499153x^4 - 0.0003188805x^6$                             | $\rho^* = 2.75 \cdot 10^{-8}$ |
|         | $\frac{P_4(x)}{Q_2(x)} = \frac{47.7074673530 - 13.7142189357x^2 + 0.448132403x^4}{47.7074662028 + x^2}$  | $\rho^* = 2.41 \cdot 10^{-8}$ |
|         | $\frac{P_2(x)}{Q_4(x)} = \frac{494.165572643 - 123.798270464x^2}{494.165631294 + 28.612918288x^2 + x^4}$ | $\rho^* = 1.19 \cdot 10^{-7}$ |

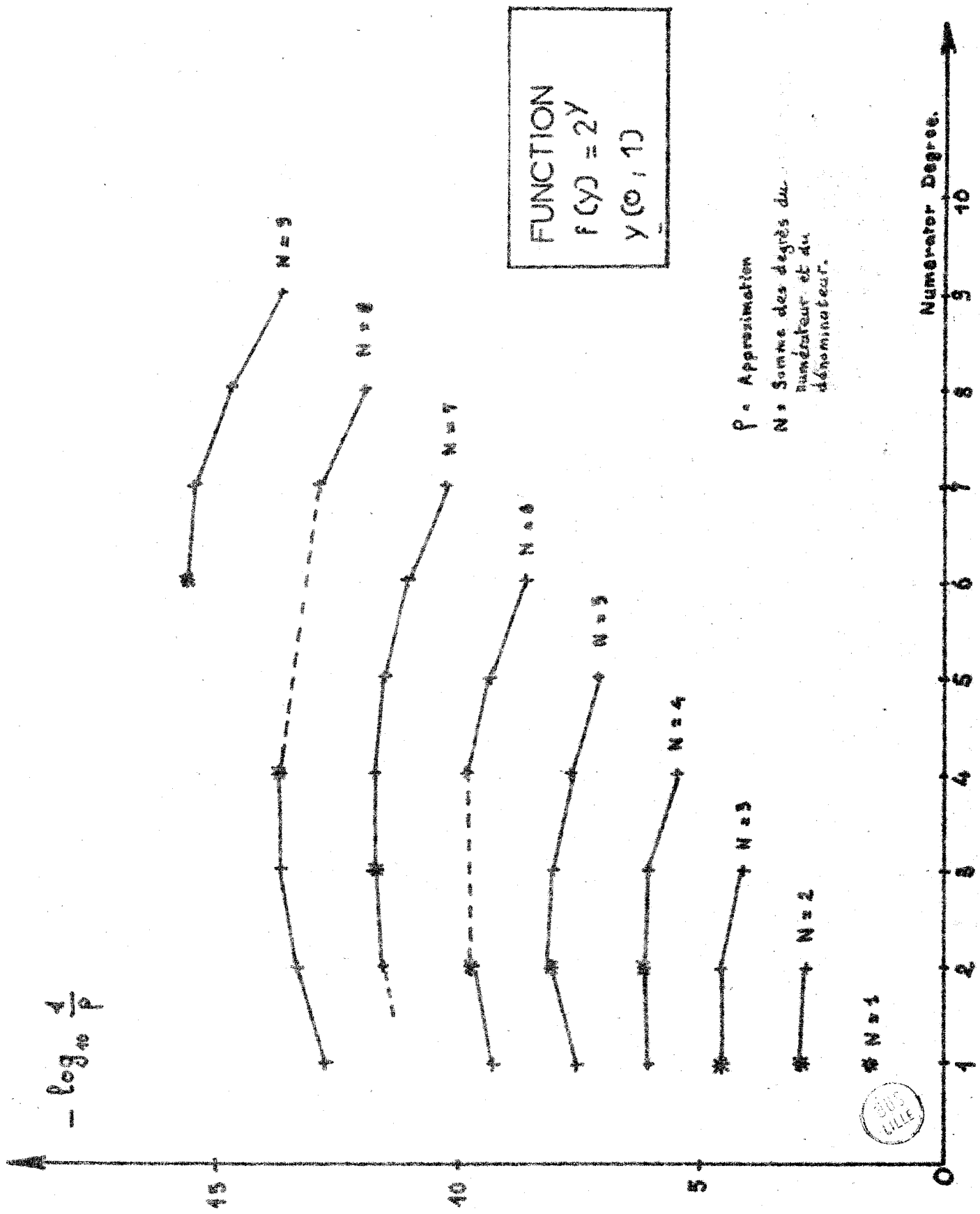
|         |                                                                                                                                                                                                                                                                                                                                             |                       |
|---------|---------------------------------------------------------------------------------------------------------------------------------------------------------------------------------------------------------------------------------------------------------------------------------------------------------------------------------------------|-----------------------|
|         | $P_8(x) = 0.999\ 999\ 999\ 952\ 6 - 0.308\ 425\ 135\ 161\ 8\ x^2 + 0.015\ 854\ 325\ 246\ 2\ x^4$ $- 0.000\ 325\ 938\ 614\ 3\ x^6 + 0.000\ 003\ 529\ 811\ 3\ x^8$ $P_6(x) = 89.840\ 204\ 000\ 473\ 0 - 26.708\ 977\ 416\ 157\ 7\ x^2 + 1.115\ 933\ 431\ 312\ 4\ x^4$ $- 0.013\ 435\ 778\ 062\ 5\ x^6$ <hr/> $89.840\ 204\ 000\ 473\ 0 + x^2$ | $\rho = 4.7.10^{-11}$ |
| $N = 8$ | $P_4(x) = 2972.640\ 361\ 785\ 887 - 836.275\ 382\ 995\ 605\ 3\ x^2 + 23.281\ 953\ 543\ 424\ 6\ x^4$ $2972.640\ 361\ 785\ 887 + 80.561\ 619\ 445\ 681\ 6\ x^2 + x^4$ <hr/> $15558.486\ 808\ 776\ 85 - 3890.449\ 525\ 833\ 129\ x^2$                                                                                                          | $\rho = 6.7.10^{-11}$ |
|         | $P_2(x) = 15558.486\ 795\ 425\ 41 + 908.179\ 595\ 351\ 219\ 1\ x^2 + 33.430\ 201\ 806\ 128\ 0\ x^4 + x^6$                                                                                                                                                                                                                                   | $\rho = 8.7.10^{-10}$ |











$-\log_{10} \left( \frac{1}{\rho^*} \right)$

15

10

5

0

$N=10$

$N=8$

$N=6$

$N=4$

x \*  $N=2$

Fonction  
 $\cos\left(\frac{\pi}{4}x\right)$   
 $x \in [0, 1]$

$\rho^*$  = approximation  
 $N$  = Somme des degrés du  
numérateur et du  
dénominateur

d° Numérateur

15

10

5

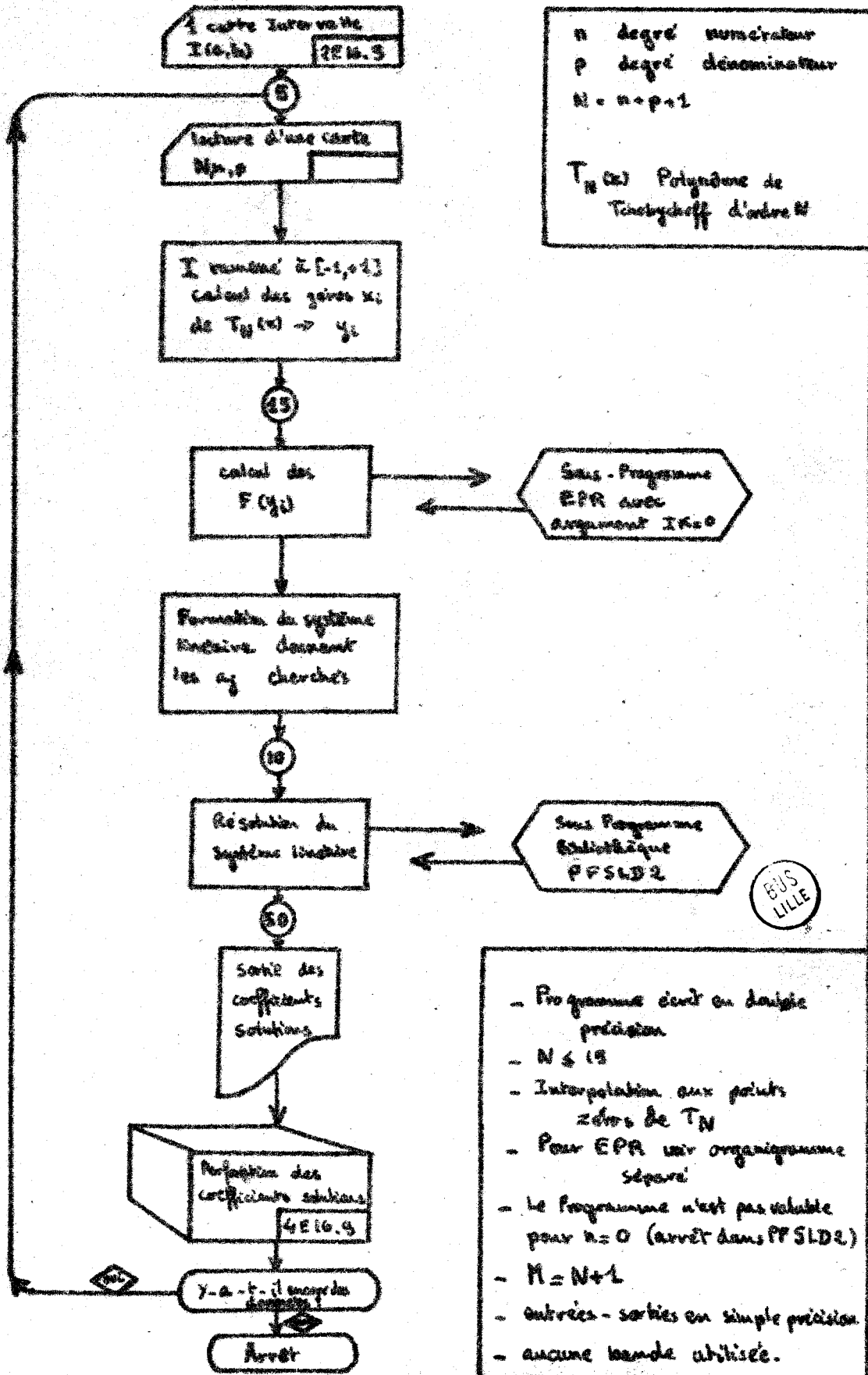


Annexe 3

-----

# Programme d'Interpolation Rationnelle

Interpolation de  $F(y)$  par  $R_N(y) = \frac{a_0 + a_1 y + \dots + a_N y^N}{b_0 + b_1 y + \dots + b_N y^N}$



$n$  degré numérateur  
 $p$  degré dénominateur  
 $N = n + p + 1$   
 $T_N(x)$  Polynôme de Tchebycheff d'ordre  $N$

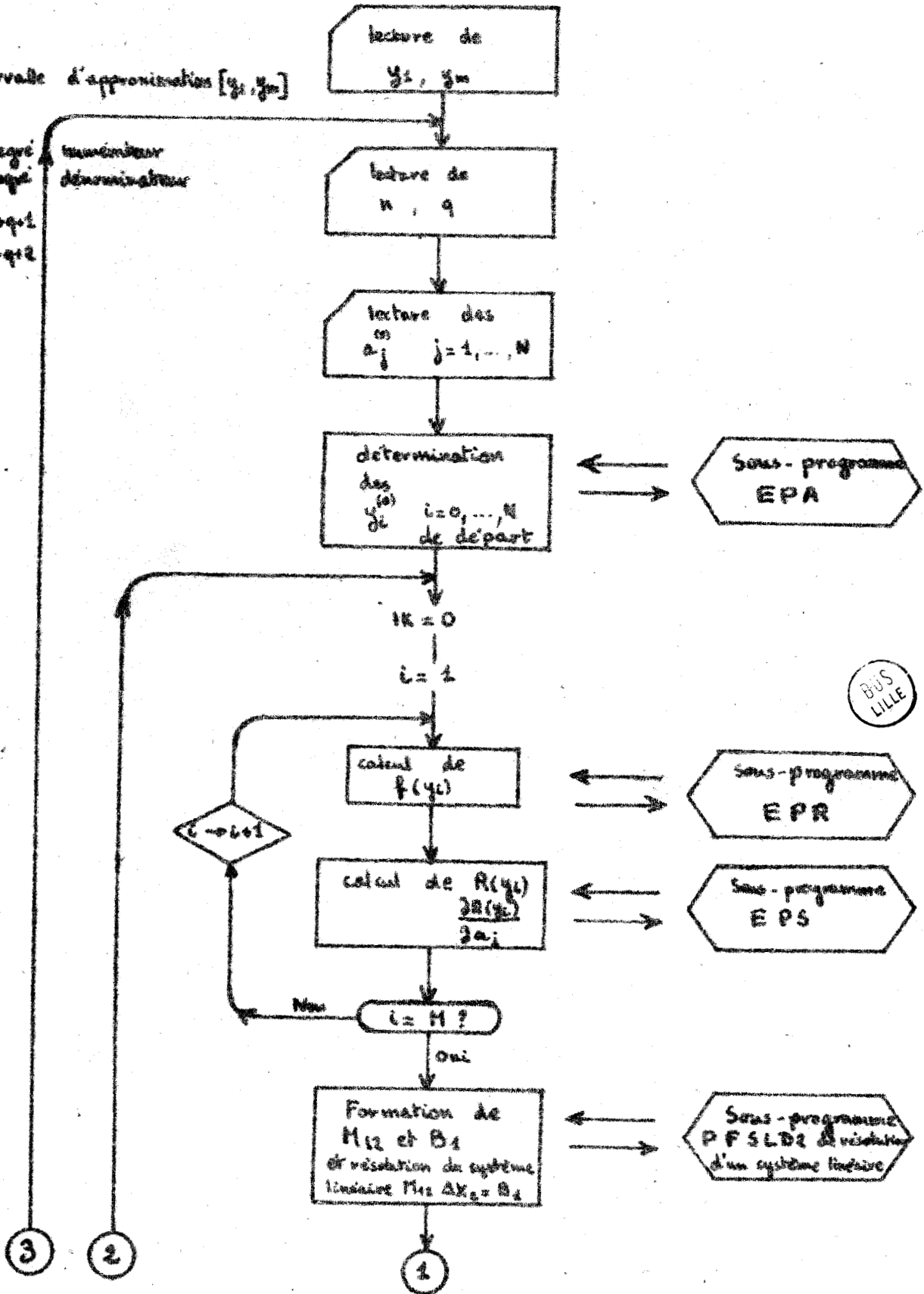
EJS LILLE

- Programme écrit en double précision
- $N \leq 19$
- Interpolation aux points zéros de  $T_N$
- Pour EPR voir organisation séparée
- Le Programme n'est pas modifiable pour  $n=0$  (arrêt dans PPSLDZ)
- $M = N+1$
- entrées - sorties en simple précision
- aucune bande utilisée.

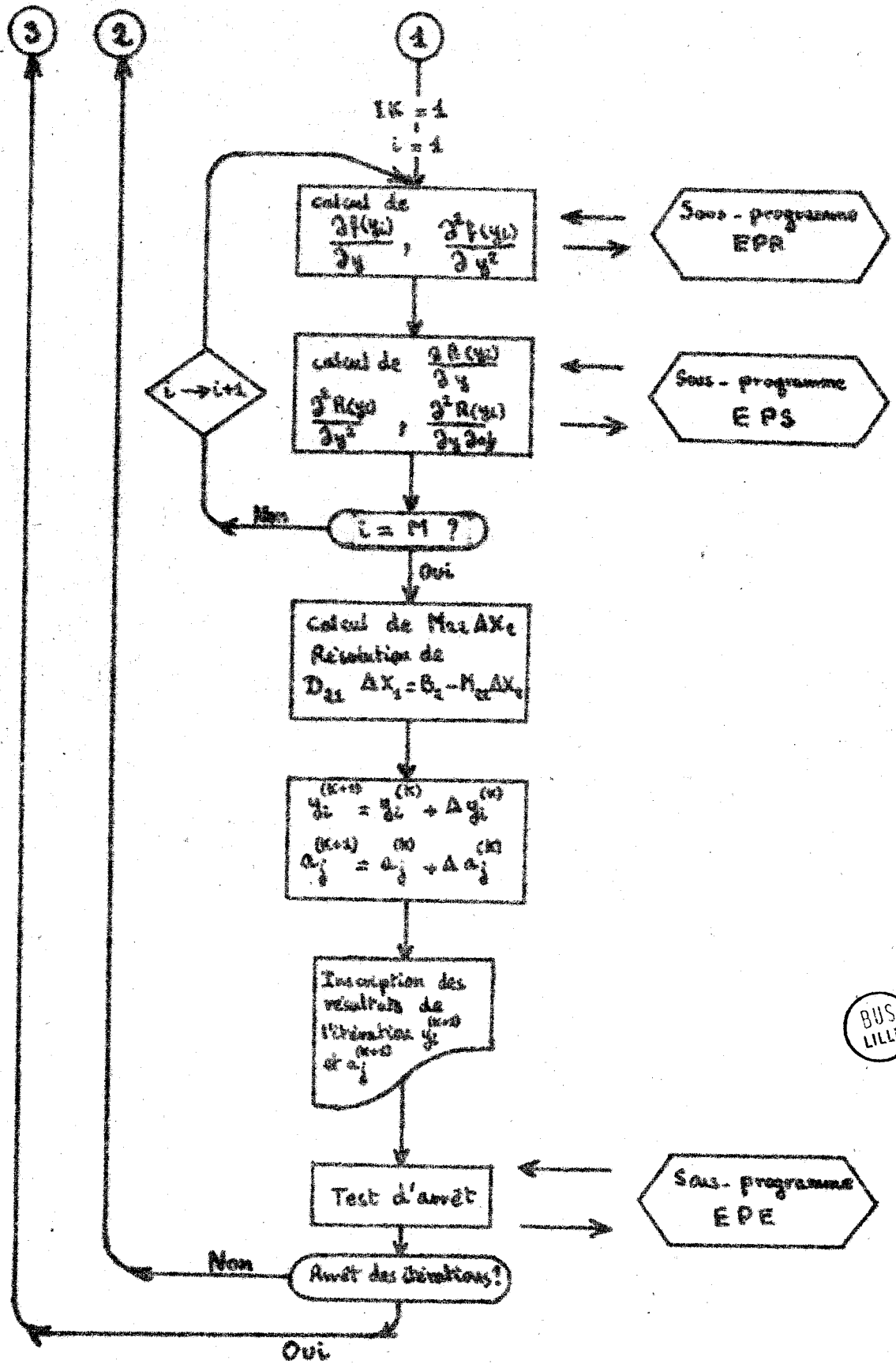
# Programme Directeur

Intervalle d'approximation  $[y_1, y_m]$

$N$ : degré  
 $q$ : degré  
 numérateur  
 dénominateur  
 $N$ : nombre  
 $M$ : nombre



BUS  
LILLE

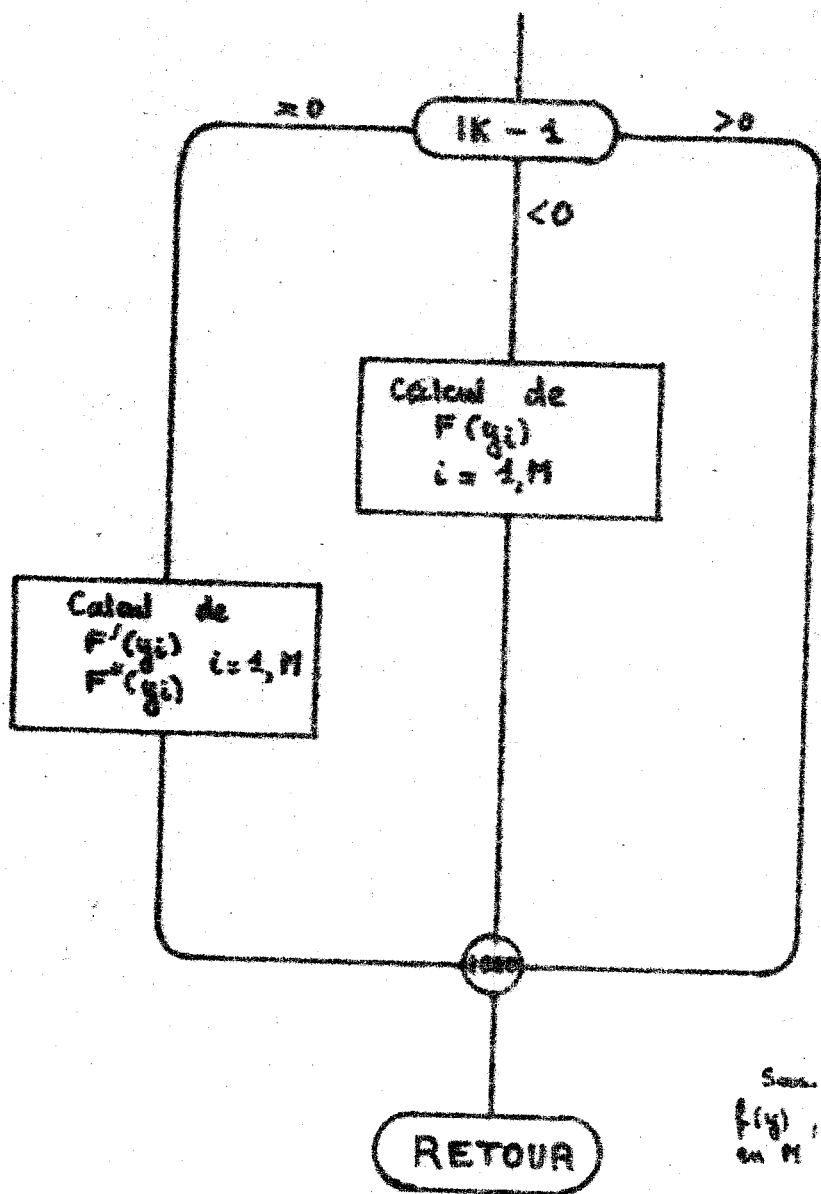


BUS LILLE



# Sous-Programme EPR

Arguments (Y, F, FP, FS, IK, M)



Y { bloc des points  $y_i$  où l'on  
calcule  $F, F'$  et  $F''$   
 $Y(16)$  avec D en col. 1

F { bloc des valeurs  $f(y_i)$  calculées  
 $F(16)$  avec D en col. 1

FP { bloc des valeurs  $f'(y_i)$  calculées  
 $FP(16)$  avec D en col. 1

FD { bloc des valeurs  $f''(y_i)$  calculées  
 $FD(16)$  avec D en col. 1

IK { variable fixe commandant  
soit le calcul de  $f$ , soit  
le calcul de  $f'$  et  $f''$ .

M { nombre de points

Sous-Programme servant à calculer une fonction  $f(y)$ , et ses 2 premières dérivées  $f'(y)$  et  $f''(y)$  en M points  $y_i$ .

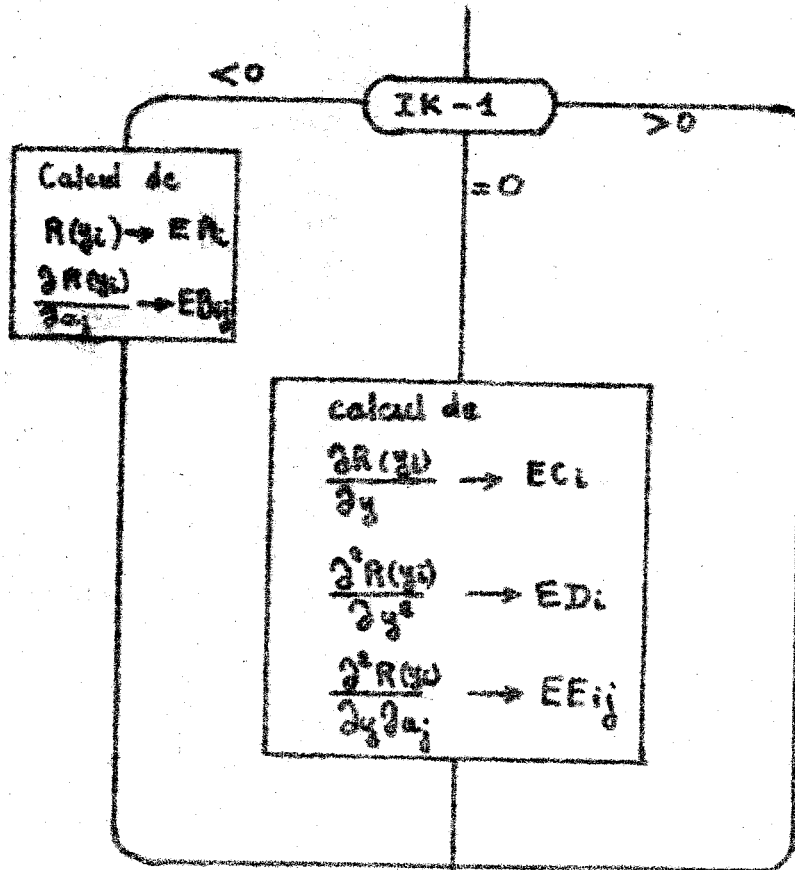
EPR doit être écrit en double précision

Aucune entrée sortie dans le Sous-Programme  
Aucune bande nécessaire.

BUS  
LILLE

# SOUS-PROGRAMME EPS

Arguments (A, Y, M, N, EA, EB, EC, EDEF, IK, L)



EPS est écrit en double précision.

Aucune entrée - sortie

$$M = n + q + 2 \leq 16$$

$$N = n + q + 1 \leq 15$$

$$L = n$$

Ce sous-programme calcule la valeur de  $R(y)$  et de ses dérivées successives en  $M$  points  $y_i$ .



$$R(y) = \frac{a_0 + a_1 y + \dots + a_{m-1} y^{m-1}}{a_m + a_{m+1} y + \dots + a_n y^{n-1} + y^q}$$

Annexe 4

-----

:ID

:EXECUTE           FORTRAN

\*       JOB 5555,39,05,15,\* COULAND BOSMORIN SINUS. F02  
\*       VOIR SUR LA TABULATRICE CONNECTEE LE TRANSFERT A FAIRE EN CAS ANO  
\*       ON PEUT ARRETER CE TRAVAIL EN FAISANT AU PUPITRE  
\*       LE TRA ANOMALIE PUIS STOP APRES 1 SECONDE.  
\*       PAUSE  
\*       XEQ  
\*       LABEL

CPRIN   PROGRAMME PRINCIPAL

        DIMENSION BLOCA(20)

        DIMENSION KSOR(4),ASOR(16,4),YSOR(16,4),ESOR(16,4)

D       DIMENSION A(15),Y(16),ERR(16)

        COMMON MODINS,NPILOT

        COMMON NCOM1,NCOM2,NCOM3,YCOM1,YCOM2,BLOCA

        COMMON KERR,NANA,NANA1,NANA2,NANA3,NANA4,LIGNE1,LIGNE

        COMMON KSOR,ASOR,YSOR,ESOR

        COMMON A,Y,ERR

C       NCOM2= DEGRE   NUMERATEUR

C       NCOM3= DEGRE   DENOMINATEUR

        MODINS=1

C       MODINS=1 INSCRIPTION SIMPLIFIEE,MODINS=0 INSCRIPTION NORMALE

C       READ INPUT TAPE 5,3334,NANA1,NANA2,LIGNE1,NANA3,NANA4

        NANA =0

        CALL COMMEN

100 CONTINUE

NCOM1=0

IDY=0

IDX=0

CALL TITRE(1)

1 CONTINUE

KERR=1

CALL BORNE(IDY)

IF (IDY)200,100,200

200 CONTINUE

C

CALL ACCRO

C

IF (KERR)4,2,4

2 CONTINUE

C

CALL SORTIE(1)

C

4 CONTINUE

CALL DEGRE(IDX)

IF (NCOM2+NCOM3)11,11,12

11 CONTINUE

CALL SORTIE(0)

GO TO 1

12 CONTINUE

KERR=0

C

CALL INTER

C

IF (KERR)4,15,4

15 CONTINUE

C

CALL APPRO

C

GO TO 2

C3334 FORMAT(10I2)

END

\* LABEL

SUBROUTINE SORTIE(ISAUT)

CSORTIE INSCRIPTION DES RESULTATS

DIMENSION NUME(50),NDENO(50),TAB(50,5)

DIMENSION BLOCA(20)

DIMENSION KSOR(4),ASOR(16,4),YSOR(16,4),ESOR(16,4)

D DIMENSION A(15),Y(16),ERR(16)

DIMENSION SORINT(16,3)

DIMENSION IDOUBL(30),PREC(16),TAMAUX(16)

COMMON MODINS,NPILOT

COMMON NCOM1,NCOM2,NCOM3,YCOM1,YCOM2,BLOCA

COMMON KERR,NANA,NANA1,NANA2,NANA3,NANA4,LIGNE1,LIGNE

COMMON KSOR,ASOR,YSOR,ESOR

COMMON A,Y,ERR

COMMON SORINT

COMMON NBSIGN

NANA1=1

NANA2=1

N16=16

N4=4

N3=3

LIG=NPILOT-2

IF (ISAUT)100,200,100

100 CONTINUE

Y1=YCOM1

YM=YCOM2

IJKL=NCOM1-N

N=NCOM1

L=NCOM2

ND=NCOM3

M=N+1

N16=M

IF (NANA1)104,106,104

104 CONTINUE

K15=KSOR(4)+1

IF (MODINS)23,22,23

22 CONTINUE

C

CALL TITRE(2)

C

N16=N16-1

WRITE OUTPUT TAPE 6,7010

WRITE OUTPUT TAPE 6,7030,((SORINT(I,J),J=1,3),I=1,N16)

WRITE OUTPUT TAPE 6,7020

N16=N16+1

```
WRITE OUTPUT TAPE 6,2040,(KSOR(I),I=1,N3),((ASOR(J,ISOR),YSOR(J,I  
ISOR),ESOR(J,ISOR),ISOR=1,N3),J=1,N16)
```

```
WRITE OUTPUT TAPE 6,5502,KSOR(N4),K15,(ASOR(J,N4),YSOR(J,N4),ESOR  
1(J,N4),A(J),Y(J),ERR(J),A(J),A(J+15),J=1,N16)
```

```
GO TO 106
```

```
23 IF (IJKL)20,106,20
```

```
20 CALL TITRE(2)
```

```
LIBEMP=1
```

```
CALL INSBUE(TAMAUX,SIGNE,IDOUBL,IEXP,Y,I,N,NBUFE,LIBEMP)
```

```
N16=N16-1
```

```
NCOMPT=LIG
```

```
NLIGNE=N16+2
```

```
NCOMPT=NCOMPT-NLIGNE
```

```
NCOM1=NCOM1-1
```

```
WRITE OUTPUT TAPE 6,7033,NCOM1,YCOM1,YCOM2
```

```
WRITE OUTPUT TAPE 6,7031,((SORINT(I,J),J=1,2),YSOR(I,1),I=1,N16)
```

```
WRITE OUTPUT TAPE 6,7032,YCOM2
```

```
NCOM1=NCOM1+1
```

```
N16=N16+1
```

```
106 CONTINUE
```

```
C
```

```
C CALCUL POUR RECAPITULATION
```

```
C
```

```
S1=0.
```

```
S2=ABSF(ERR(1))
```

```
TEST=0.
```

```
ERK=S2
```



```
DO 110I=1,N
S1=S1+ABSF(ERR(I)+ERR(I+1))
S2=S2+ABSF(ERR(I+1))
TEST=TEST+ABSF(ASOR(I,3))
110 CONTINUE
R=S1/S2
FN=FN+1
ERM=S2/FN
ERK=ERM
IF (ERK)140,140,111
111 ERKL=-LOGF(1./ERK)
ERKL=-ERKL*0.434
IF (TEST)120,140,120
120 CONTINUE
IF (R-0.1)130,130,140
130 CONTINUE
IF (NANA2)134,140,134
134 CONTINUE
IF (MODINS)133,132,133
133 CALL TEST2(Y,N16,IJKL)
IF (IJKL)141,333,141
333 NLIGNE=N16+4
IF (NCOMPT-NLIGNE)135,235,231
235 NLIGNE=0
GO TO 236
135 CALL TITRE(2)
LIBEMP=1
```

```

        CALL INSBUE(TAMAUX,SIGNE,IDOUBL,IEXP,Y,I,N,NBUFE,LIBEMP)
236 NCOMPT=LIG
231 NCOMPT=NCOMPT-NLIGNE
        WRITE OUTPUT TAPE 6,5504,NCOM2,NCOM3,YCOM1,YCOM2
131 WRITE OUTPUT TAPE 6,5503,(KSOR(I),I=3,N4),(BLOCA(J),(ASOR(J,ISOR)
1,YSOR(J,ISOR),ESOR(J,ISOR),ISOR=N3,N4),A(J),A(J+15),J=1,N16)
        IF (NCOMPT-LIG)137,537,137
537 LIBEMP=1
        CALL TITRE(2)
        CALL INSBUE(TAMAUX,SIGNE,IDOUBL,IEXP,Y,I,N,NBUFE,LIBEMP)
        GO TO 137
132 CONTINUE
C
        CALL TITRE(2)
C
        WRITE OUTPUT TAPE 6,7000
        WRITE OUTPUT TAPE 6,7001
        WRITE OUTPUT TAPE 6,7003,(A(I),Y(I),I=1,N)
        WRITE OUTPUT TAPE 6,7500,Y(M),ERR(1)
        WRITE OUTPUT TAPE 6,1550,L,ND
        IF (ABSF(ERR(1))-0.001)136,140,140
136 CONTINUE
        WRITE OUTPUT TAPE 6,1560
137 CONTINUE
        IF (MOD(INS)299,11,299)
299 TAMAUX(1)=YCOM1
        TAMAUX(2)=YCOM2

```

TAMAU(3)=ERR(1)

TAMAU(4)=NCOM2

TAMAU(5)=NCOM3

11 CONTINUE

DO 121=1,N

D TEMPO=A(1)

C

CALL INSD(6,TEMPO,8H(1H25X) ,16,IDOUBL,SIGNE,IEXP)

C

IF (MODINS)396,12,396

396 LIBEMP=0

CALL INSBUE(TAMAU,SIGNE,IDOUBL,IEXP,Y,I,N,NBUFE,LIBEMP)

12 CONTINUE

GO TO 142

140 CONTINUE

IF (MODINS)141,142,141

141 NLIGNE=N16+4

IF (NCOMPT-NLIGNE)145,245,243

245 NLIGNE=0

GO TO 246

145 CALL TITRE(2)

LIBEMP=1

CALL INSBUE(TAMAU,SIGNE,IDOUBL,IEXP,Y,I,N,NBUFE,LIBEMP)

246 NCOMPT=LIG

243 NCOMPT=NCOMPT-NLIGNE

WRITE OUTPUT TAPE 6,5504,NCOM2,NCOM3,YCOM1,YCOM2

IF (K15-15)153,143,143

```

153 IF (K15-3)154,154,155
154 IF (K15-2)161,162,163
155 WRITE OUTPUT TAPE 6,2041,(KSOR(I),I=3,N4),K15,(BLOCA(J),(ASOR(J,I
  ISOR),YSOR(J,ISOR),ISOR=2,N3),ESOR(J,N3),A(J),Y(J),ERR(J),J=1,N16)
  GO TO 543
161 WRITE OUTPUT TAPE 6,3041,K15,(A(J),Y(J),J=1,N16)
  GO TO 543
162 WRITE OUTPUT TAPE 6,3042,K15,(BLOCA(J),A(J),Y(J),ERR(J),J=1,N16)
  GO TO 543
163 WRITE OUTPUT TAPE 6,3043,KSOR(4),K15,(BLOCA(J),(ASOR(J,ISOR),YSOR
  I(J,ISOR),ESOR(J,ISOR),ISOR=N3,N4),J=1,N16)
  GO TO 543
143 WRITE OUTPUT TAPE 6,2041,(KSOR(I),I=3,N4),K15,(BLOCA(J),(ASOR(J,I
  ISOR),YSOR(J,ISOR),ISOR=N3,N4),ESOR(J,N4),A(J),Y(J),ERR(J),J=1,N16)
543 IF (NCOMPT-LIG)142,542,142
542 LIBEMP=1
  CALL TITRE(2)
  CALL INSBUE(TAMAUX,SIGNE,IDOUBL,IEXP,Y,I,N,NBUFE,LIBEMP)
142 CONTINUE
  ITAB=ITAB+1
  NUME(ITAB)=L
  NDENO(ITAB)=ND
  TAB(ITAB,1)=ERM
  TAB(ITAB,2)=ERKL
  TAB(ITAB,3)=R
199 IF (ITAB-50)150,201,201
200 CONTINUE

```

```

        IF (MOD INS)202,201,202
202 IF(ITAB)252,252,251
251 CALL TITRE(2)
        LIBEMP=1
        CALL INSBUE(TAMAUX,SIGNE,IDOUBL,IEXP,Y,I,N,NBUFE,LIBEMP)
        LIBEMP=-1
        CALL INSBUE(TAMAUX,SIGNE,IDOUBL,IEXP,Y,I,N,NBUFE,LIBEMP)
        GO TO 151
201 CONTINUE
C
        CALL TITRE(3)
C
151 CONTINUE
        NJ=3
        WRITE OUTPUT TAPE 6,450
        DO 250 I TA=1, ITAB
        WRITE OUTPUT TAPE 6,400,NUME(ITA),NDENO(ITA),(TAB(ITA,JTA),JTA=1,
1NJ)
250 CONTINUE
        ITAB=0
        CALL TITRE(2)
252 NCOMPT=LIG
150 CONTINUE
        RETURN
C
400 FORMAT(5X,2I4,2X,1P5E20.6)
450 FORMAT(1H0,7X,1HN,3X,1HD,10X,3HERM,17X,9H L(1/ERM),12X,1HR//)

```

1560 FORMAT (1H0, 21X, 12HCOEFFICIENTS, 2X, 2HEN, 2X, 6HDOUBLE, 2X, 9HPRECISION  
1, /, 2X)

2040 FORMAT(2X, 3(22X, 9HITERATION, 18), /, 2X, 3(6X, 4HCOEF, 3X, 6X, 1HY, 6X, 5X, 3  
1HERR, 5X), /, (2X, 1P9E13.4), )

7000 FORMAT(1H0, 26HAPPROXIMATION RATIONNELLE//15H BOSMORIN 1962/20X, )

7001 FORMAT(1H0/, 37H MEILLEURE APPROXIMATION OBTENUE PAR///10X, 14H CO  
1EFFICIENTS, 10X, 16HPOINTS CRITIQUES//, 12X)

7003 FORMAT(12X, E14.7, 10X, E14.7)

5502 FORMAT(1H0, 1X, 2(22X, 9HITERATION, 18), /, 2X, 2(6X, 4HCOEF, 3X, 6X, 1HY, 6X,  
15X, 3HERR, 5X, ), 21X, 5HOCTAL, /, (2X, 1P6E13.4, 4X, 2014), )

7500 FORMAT(36X, E14.7//36H APPROXIMATION(MAXIMA DE L ERREUR)=E14.7//12  
1H REMARQUES)

1550 FORMAT(1H /20X, 19H DEGRE NUMERATEUR 12, 20H DEGRE DENOMINATEUR 12)

7010 FORMAT(1H0, 2X, 5H\*\*\*\*\*, 1X, 13HINTERPOLATION, 2X, 11HRATIONNELLE, 1X, 5H\*  
1\*\*\*\*\*, /, 2X)

7020 FORMAT(1H0, 2X, 5H\*\*\*\*\*, 1X, 13HAPPROXIMATION, 2X, 11HRATIONNELLE, 1X, 5H\*  
1\*\*\*\*\*, /, 2X)

7030 FORMAT(4X, 2HT=, E16.7, 4X, 2HZ=, E16.7, 4X, 2HA=, E16.7)

7031 FORMAT(4X, 2HT=1PE15.6, 4X, 2HZ=E15.6, 4X, 2HY=E15.6)

7032 FORMAT(46X, 2HY=1PE15.6)

5503 FORMAT (4X, 2(22X, 9HITERATION, 18)/9X, 1HC, 1X, 2(9X, 4HCOEF, 11X, 1HY,  
111X, 3HERR), 16X, 5HOCTAL/(2X, 1P7E13.4, 015, 1X, 09))

2041 FORMAT (2X, 3(18X, 9HITERATION, 18)/9X, 1HC, 10X, 4HCOEF, 11X, 1HY,  
12(10X, 4HCOEF, 11X, 1HY, 11X, 3HERR)/(2X, 1P9E13.4))

5504 FORMAT(1H0, 3X, 22H\*\*\* DEGRE NUMERATEUR =14, 8X, 20HDEGRE DENOMINATEUR  
1 =14, 12X, 3HA =1PE15.6, 5X, 3HB =E15.6)

7033 FORMAT(2X, 48H\*\*\*\*\* DEGRE NUMERATEUR PLUS DEGRE DENOMINATEUR =18, 15

1X,3HA =1PE15.6,5X,3HB =E15.6/)

3041 FORMAT(20X,9HITERATION,18/9X,1HC,12X,1HY/(2X,1P2E13.4))

3042 FORMAT(20X,9HITERATION,18/9X,1HC,10X,4HCOEF,11X,1HY,11X,3HERR/(2X,  
11P4E13.4))

3043 FORMAT(4X,2(22X,9HITERATION,18)/9X,1HC,1X,2(9X,4HCOEF,11X,1HY,11X,  
13HERR)/(2X,1P7E13.4))

END

\* LABEL

SUBROUTINE TITRE(N)

CTITRE LECTURE OU INSCRIPTION DE L EN-TETE

DIMENSION TITER(12)

COMMON MODINS,NPILOT

COMMON NCOM1,NCOM2,NCOM3,YCOM1,YCOM2,BLOCA

GOTO(10,20,30),N

10 CONTINUE

IPAGE=1

B TITER(12)=606060606060

READ INPUT TAPE 5,3332,NPILOT,(TITER(I),I=1,11)

IF(NPILOT)5,5,6

5 NPILOT=57

6 CONTINUE

RETURN

20 CONTINUE

WRITE OUTPUT TAPE 6,3322,IPAGE,TITER

IF (MODINS)40,25,40

25 WRITE OUTPUT TAPE 6,3335,YCOM1,YCOM2

WRITE OUTPUT TAPE 6,550,NCOM2,NCOM3

40 CONTINUE

RETURN

30 CONTINUE

WRITE OUTPUT TAPE 6,3322,IPAGE,TITER

WRITE OUTPUT TAPE 6,3335,YCOM1,YCOM2

RETURN

3332 FORMAT(12,11A6)

3322 FORMAT(11,12A6//)

3335 FORMAT(1H0,10X,10HINTERVALLE,2E16.5)

550 FORMAT(1H0/,8X,19H DEGRE NUMERATEUR 12,20H DEGRE DENOMINATEUR 12)

END

\* LABEL

SUBROUTINE INTER

CINTER CALCUL D UNE SOLUTION INITIALE

D DIMENSION A(15,16),B(16),C(15),Y(16),Z(16),CE(16),DE(16)

DIMENSION BLOCA(20)

DIMENSION SORINT(16,3)

DIMENSION KSOR(4),ASOR(16,4),YSOR(16,4),ESOR(16,4)

D DIMENSION BIDON(47)

COMMON MODINS,NPILOT

COMMON NCOM1,NCOM2,NCOM3,YCOM1,YCOM2,BLOCA

COMMON KERR,NANA,NANA1,NANA2,NANA3,NANA4,LIGNE1,LIGNE

COMMON KSOR,ASOR,YSOR,ESOR

COMMON BIDON

COMMON SORINT

N1=NCOM1

NP=NCOM2



```

NQ=NCOM3
Y1=YCOM1
YN=YCOM2
TN=FLOATF(N1)
T=TN*3.1415926+1.5707963
DO 15I=1,N1
T=T-3.1415926
15 Y(I)=(YN+Y1)/2.+COSF(T/TN)*(YN-Y1)/2.
IK=0
CALL EPR(Y,Z,CE,DE,IK,N1)
DO 12J=1,16
DO 12I=1,15
D 12 A(I,J)=0.
DO 10I=1,N1
D A(I,1)=1.
IF (NP-1)18,17,17
17 DO 20J=1,NP
D 20 A(I,J+1)=A(I,J)*Y(I)
D 18 A(I,NP+2)=-Z(I)
IF (NQ-1)28,27,27
27 DO 30J=1,NQ
K=J+NP+2
D 30 A(I,K)=A(I,K-1)*Y(I)
28 N2=N1+1
D A(I,N2)=-A(I,N2)
10 CONTINUE
CALL RESLIN(N1,N2,A,B,C,KERR,15,16)

```

```

      IF (KERR)400,50,400
400 CONTINUE
      CALL TITRE(2)
      WRITE OUTPUT TAPE 6,1040
      WRITE OUTPUT TAPE 6,1020
      WRITE OUTPUT TAPE 6,1030,(Y(I),Z(I),A(I,1),I=1,N1)
      WRITE OUTPUT TAPE 6,2000,NP,NQ
50 CONTINUE
      DO 51J=1,N1
      SORINT(J,1)=Y(J)
      SORINT(J,2)=Z(J)
      SORINT(J,3)=A(J,1)
      BLOCA(J)=A(J,1)
51 CONTINUE
      IF (NANA4)55,60,55
55 CONTINUE
C      PERFORER 1050,(A(J,1),J=1,N1)
C      PERFORER5000,N1,NP,NQ
60 CONTINUE
5000 FORMAT (3I2)
1020 FORMAT (18H DETERMINANT NUL)
1030 FORMAT(4H T=E18.9,4H Z=E18.9,6H A=E18.9)
1040 FORMAT(35HINTERPOLATION RATIONNELLE ***** ,/,2X)
2000 FORMAT(2I10)
1050 FORMAT(4E16.9)
      RETURN
      END

```

```

*      LABEL
      SUBROUTINE EPS(A,Y,M,N,EA,EB,EC,ED,EE,IK,L)
CEPS  CALCUL DE LA FRACTION RATIONNELLE APPROCHEE ET
C      DES DERIVEES PREMIERE ET SECONDE
C      BOSMORIN EPS GENERAL 3/7/1962
D      DIMENSION AA(15,16),B(16),C(15),A(15),Y(16),EA(16),EB(16,15),EC(16
1),ED(16),EE(16,15),S(14),Z(14),AE(16),CE(16),DE(16),ERR(16)
D      DIMENSION P(15),Q(15),RNA(15),RDB(15),EBN(15),EBD(15),RNAY(15),RDB
1Y(15)
      L1=L+1
      LD=N-L-1
      LD1=LD+1
      IF (LD-1)5,115,115
115  DO 15K=1,LD
      J=K+L+1
D  15 B(K)=A(J)
D  5  B(LD1)=1.
      DO 25I=1,M
D  P(1)=1.
D  Q(1)=0.
      LM=XMAXOF(L,LD)+1
      DO 26J=2,LM
D  Q(J)=Q(J-1)+1.
D 26 P(J)=P(J-1)*Y(I)
D  RN=0.
      DO 27J=1,L1
D 27 RN=RN+P(J)*A(J)

```

```

D   RD=0.
      DO 28J=1,LD1
D 28 RD=RD+P(J)*B(J)
D   RNY=0.
      IF (L1-2)31,29,29
      29 DO 30J=2,L1
D 30 RNY=RNY+A(J)*P(J-1)*Q(J)
D 31 RDY=0.
      IF (LD1-2)33,315,315
      315 DO 32J=2,LD1
D 32 RDY=RDY+B(J)*P(J-1)*Q(J)
      33 DO 40J=1,L1
D 40 RNA(J)=P(J)
      IF (LD-1)102,103,103
      103 DO 41J=1,LD
D 41 RDB(J)=P(J)
      102 IF (IK)1000,10,20
D 10 EA(I)=RN/RD
      DO 105J=1,L1
D 105 EB(I,J)=RNA(J)/RD
      IF (LD-1)108,109,109
      109 DO 107K=1,LD
          J=K+L1
D   EBN(K)=-RDB(K)*RN
D   EBD(K)=RD*RD
D 107 EB(I,J)=EBN(K)/EBD(K)
      108 GO TO 25

```

```

D 20 ECN=RNY*RD-RDY*RN
D   ECD=RD*RD
D   EC(I)=ECN/ECD
D   RNY=0.
      IF (L1-3)206,204,204
204 DO 205K=3,L1
D 205 RNY=RNY+Q(K)*Q(K-1)*A(K)*P(K-2)
D 206 RDY=0.
      IF (LD1-3)212,211,211
211 DO 210K=3,LD1
D 210 RDY=RDY+Q(K)*Q(K-1)*B(K)*P(K-2)
D 212 ECNY=RNY*RD-RDY*RN
D   ECDY=2.*RD*RDY
D   ED(I)=(ECNY*ECD-ECDY*ECN)/(ECD*ECD)
221 DO 215J=1,L1
      IF (J-1)1000,222,223
D 222 RNAY(1)=0.
      GO TO 215
223 K=J
D   RNAY(J)=Q(K)*P(K-1)
D 215 EE(I,J)=(RNAY(J)*RD-RNA(J)*RDY)/(RD*RD)
      IF (LD-1)25,213,213
213 DO 225K=1,LD
      IF (K-1)1000,235,216
D 235 RDBY(1)=0.
      GO TO 217
D 216 RDBY(K)=Q(K)*P(K-1)

```

217 J=K+L1

D 225  $EE(I, J) = (-RDBY(K)*RN - RDB(K)*RNY) / (RD*RD) + (2.*RDY*RDB(K)*RN) / (RD*RD$   
D 1\*RD)

25 CONTINUE

1000 RETURN

END

\* LABEL

SUBROUTINE EPE(AA, A, Z, Y, ERR, IR, IS, K, N)

CEPE PERMETTAIT INITIALEMENT DE DEPLACER L INTERVALLE

D DIMENSION AA(15, 16), B(16), C(15), A(15), Y(16), EA(16), EB(16, 15), EC(16

1), ED(16), EE(16, 15), S(14), Z(14), AE(16), CE(16), DE(16), ERR(16)

IS=K-IR

1000 RETURN

END

\* LABEL

SUBROUTINE EPA(A, Y, N, L, IP)

CEPA CALCUL DES POINTS CRITIQUES MAXI DE T(Y)

D DIMENSION A(15), Y(16)

M=N+1

TN=FLOATF(N)

T=TN\*3.1415926

DO 25 I=2, N

T=T-3.1415926

25  $Y(I) = (Y(I) + Y(M)) / 2. + ((Y(M) - Y(I)) / 2.) * \text{COSF}(T/TN)$

RETURN

END

\* LABEL

SUBROUTINE BORNE(IDY)

CBORNE DETERMINATION DE L INTERVALLE

DIMENSION YLEC(4,2)

COMMON MODINS,NPILOT

COMMON NCOM1,NCOM2,NCOM3,YCOM1,YCOM2,BLOCA

IF (IDY)10,40,10

10 K=K+1

IF (K-4)30,20,30

20 IDY=0

30 GO TO 50

40 CONTINUE

READ INPUT TAPE 5,100,(YLEC(I,1),YLEC(I,2),I=1,3)

IDY=1

K=1

50 CONTINUE

IF (YLEC(K,2)-YLEC(K,1))56,55,55

55 YCOM1=YLEC(K,1)

YCOM2=YLEC(K,2)

GO TO 59

56 YCOM1=YLEC(K,2)

YCOM2=YLEC(K,1)

59 CONTINUE

IF (ABSF(YCOM1)+ABSF(YCOM2))70,60,70

60 CONTINUE

IDY=0

70 CONTINUE

RETURN

100 FORMAT(6E12.8)

END

\* LABEL

SUBROUTINE APPRO

CAPPRO APPROXIMATION RATIONNELLE

C PROGRAMME DIRECTEUR 4 N ALLANT JUSQU A 15

D DIMENSION AA(15,16),B(16),C(15),A(15),Y(16),EA(16),EB(16,15),EC(16  
1),ED(16),EE(16,15),S(14),Z(14),AE(16),CE(16),DE(16),ERR(16)

DIMENSION KSOR(4),ASOR(16,4),YSOR(16,4),ESOR(16,4)

DIMENSION BLOCA(20)

DIMENSION STOC(15)

DIMENSION SORINT(16,3)

COMMON MODINS,NPILOT

COMMON NCOM1,NCOM2,NCOM3,YCOM1,YCOM2,BLOCA

COMMON KERR,NANA,NANA1,NANA2,NANA3,NANA4,LIGNE1,LIGNE

COMMON KSOR,ASOR,YSOR,ESOR

COMMON A,Y,ERR

COMMON SORINT

COMMON NBSIGN

N16=16

ISOR=0

N3=3

N=NCOM1

L=NCOM2

ND=NCOM3

Y1=YCOM1

YM=YCOM2



TR=0.

IQ=0

IP=0

JS=0

M=N+1

IR=15

DO 1J=1,30

1 A(J)=0.

DO 2I=1,32

2 Y(I)=0.

DO 400J=1,N

A(J)=BLOCA(J)

A(J+15)=0.

400 CONTINUE

D Y(1)=Y1

D Y(M)=YM

ID=0

ND=N-L-1

C

6000 CALL EPA(A,Y,N,L,IP)

C

N3=4

ISOR=1

KSOR(1)=1

DO 420J=1,N16

ASOR(J,1)=A(J)

ESOR(J,1)=10

```

      YSOR(J,1)=Y(J)
      DO 420 I=2,N3
      ASOR(J,1)=0.
      YSOR(J,1)=0.
      ESOR(J,1)=0.
420 CONTINUE
      4 K=1
      10 IK=0
      KSOR(2)=KSOR(3)
      KSOR(3)=KSOR(4)
      KSOR(4)=K-1
      DO 430 J=1,N16
      ASOR(J,2)=ASOR(J,3)
      ASOR(J,3)=ASOR(J,4)
      ASOR(J,4)=A(J)
      ESOR(J,2)=ESOR(J,3)
      ESOR(J,3)=ESOR(J,4)
      ESOR(J,4)=ERR(J)
      YSOR(J,2)=YSOR(J,3)
      YSOR(J,3)=YSOR(J,4)
      YSOR(J,4)=Y(J)
      STOC(J)=A(J+15)
430 CONTINUE
      DO 200 J=1,32
      DO 200 I=1,15
200 AA(I,J)=0.

```

CALL EPR(Y,AE,CE,DE,IK,M)

5 CALL EPS(A,Y,M,N,EA,EB,EC,ED,EE,IK,L)

C

DO 46I=1,M

D 46 ERR(I)=AE(I)-EA(I)

15 DO 25I=1,N

DO 35J=1,N

D 35 AA(I,J)=-EB(I,J)-EB(I+1,J)

D 25 AA(I,M)=EA(I)-AE(I)+EA(I+1)-AE(I+1)

C

CALL RESLIN(N,M,AA,B,C,KERR,15,16)

C

IF (KERR)4000,30,4000

4000 CONTINUE

WRITE OUTPUT TAPE 6,4010

WRITE OUTPUT TAPE 6,1030,K

KERR=0

GO TO 5000

30 IF (IQ)5000,40,45

45 DO 50J=1,N

D 50 A(J)=A(J)+AA(J,1)

40 IK=1

C

CALL EPR(Y,AE,CE,DE,IK,M)

CALL EPS(A,Y,M,N,EA,EB,EC,ED,EE,IK,L)

C

DO 65I=2,N

```

D   S(I)=+EC(I)-CE(I)
      DO 70J=1,N
D 70 S(I)=S(I)+EE(I,J)*AA(J,1)
D   Z(I)=S(I)/(DE(I)-ED(I))
D 65 Y(I)=Y(I)+Z(I)
      IF (IQ)5000,75,80
      75 DO 85J=1,N
D 85 A(J)=A(J)+AA(J,1)
      80 IF (IP)5000,90,95
      95 CONTINUE
      WRITE OUTPUT TAPE 6,4010
      WRITE OUTPUT TAPE 6,1020,K,(AA(J,1),A(J),J=1,N),((EB(I,J),EE(I,J),
      1 I=1,M),J=1,N),(EA(I),AE(I),EC(I),CE(I),ED(I),DE(I),Z(I),Y(I),I=1,M
      2)
C
      90 CALL EPE(AA,A,Z,Y,ERR,IR,IS,K,N)
C
      IF (IS+3)110,115,115
      115 CONTINUE
      IF (NANA)210,220,210
      210 CONTINUE
      WRITE OUTPUT TAPE 6,1050,JR,JS,M,N,IP,IQ,IR,(Y(I),I=1,M),(A(J),J=1
      1,N)
      WRITE OUTPUT TAPE 6,2000,IS,ID
      WRITE OUTPUT TAPE 6,1040,K,(A(J),J=1,15),(Y(I),ERR(I),I=1,16)
      WRITE OUTPUT TAPE 6,1060,A(1),A(16),A(2),A(17),A(3),A(18),A(4),A(
      119),A(5),A(20),A(6),A(21),A(7),A(22),A(8),A(23),A(9),A(24),A(10),A

```

2(25),A(11),A(26),A(12),A(27),A(13),A(28),A(14),A(29),A(15),A(30),E  
3RR(1),ERR(16),ERR(2),ERR(17),ERR(3),ERR(18)

220 CONTINUE

110 IF (IS)100,4444,6000

100 K=K+1

GO TO 10

4444 CONTINUE

5000 CONTINUE

IF (MODINS)7,8,7

7 DO 6J=1,N

6 CALL COMPAR(A(J+15),STOC(J),NBSIGN)

8 CONTINUE

RETURN

4010 FORMAT(35HOAPPROXIMATION RATIONNELLE \*\*\*\*\*,/,2X)

1020 FORMAT(15H MISE AU POINT 12/(6E18.9))

1030 FORMAT(32H MATRICE SINGULIERE ITERATION 12)

1040 FORMAT(13H ITERATION 12/8H A(J)=5E20.7/8H 5E20.7/8H

1 5E20.7/(6H Y(1)=E20.7,8H ERR(1)=E20.7))

1050 FORMAT(14H PROGRAMME 2 214//5110//(4E20.9))

1060 FORMAT(4020/4020/4020/4020/4020/4020/4020/2020/2020/2020/2020)

1080 FORMAT(4E16.9)

2000 FORMAT(4H IS=12,4H ID=12)

3333 FORMAT(2E16.9)

3334 FORMAT(312)

5005 FORMAT(12)

END

\* LABEL

SUBROUTINE DEGRE(IDX)

CDEGRE DETERMINATION DES DEGRE NUMERATEUR ET DENOMINATEUR

DIMENSION NDEG(150,2)

COMMON MODINS,NPILOT

COMMON NCOM1,NCOM2,NCOM3,YCOM1,YCOM2,BLOCA

IZ=0

JZ=1

IF (IDX)160,10,160

10 CONTINUE

READ INPUT TAPE 5,500,NLEC,NULEC,NDLEC,MATIC1,MATIC2

IF (NLEC)180,180,12

12 IF (NDLEC)30,19,30

19 IF (NULEC)30,20,30

20 ND=0

NU=0

GO TO 200

30 IF (NULEC-15)39,39,40

39 IF (NDLEC-15)50,50,40

40 NULEC=15

NDLEC=0

GO TO 50

50 IF (MATIC1)100,60,100

60 IF (MATIC2)80,70,80

70 ND=NDLEC

NU=NULEC

GO TO 200

80 IDEG=0

```

        IF (ID-IDEG)190,190,180
180 ND=-1
        NU=-1
        ID=0
        GO TO 200
190 ND=NDEG(ID,1)
        NU=NDEG(ID,2)
        IF (NU+ND)200,170,200
200 CONTINUE
        NCOM1=NU+ND+1
        NCOM2=NU
        NCOM3=ND
        RETURN
500 FORMAT(5I2)
        END

```

\* LABEL

SUBROUTINE DIAGNO(MEM)

CDIAGNO INSCRIPTION SUR TABU CONNEXTEE DU TRANSFERT ANOMALIE

```

5 I=I+1
        IF (I-2)6,20,6
20 CALL SORTIE(0)
6 CONTINUE
        PRINT 10, MEM, MEM, I
        I=1
10 FORMAT(3X, 8HA  TOUTE, 2X, 8HANOMALIE, 2X, 4HDANS, 2X, 2HCE, 2X, 9HPROGRAMM
        1E, 2X, 5HFAIRE, 2X, 2HAU, 7HPUPITRE, 2X, 3HTRA, 2X, 05, 2X, 5HCEST, 2X, 1HA, 2X
        2, 4HDIRE, 2X, 012, 6X, 12)

```

RETURN

END

\* LABEL

SUBROUTINE INSBUE(TAMAUX,SIGNE,IDOUBL,IEXP,Y,I,N,NBUFE,LIBEMP)

C INSBUE STOCKAGE OU INSCRIPTION GROUPEE DES RESULTATS CORRECTS

D DIMENSION Y(16)

DIMENSION IDOUBL(30),PREC(16),TAMAUX(16)

DIMENSION XXX(5),GBLOC(15,5,20),RBLOC(5,20),NLIM(20)

COMMON MODINS,NPILOT

IF(MODINS)10,10,1

C INITIALISATION

1 NBUFE=0

PREC(1)=3HA =

PREC(2)=3HB =

PREC(3)=3HE =

PREC(4)=3HN =

PREC(5)=3HD =

MODINS=-MODINS

LIG=NPILOT-4

NCOMPT=LIG

K=0

10 IF(LIBEMP)14,11,100

C LIBEMP=0 POUR APPEL CHARGEMENT BUFFER,=1 POUR APPEL INSCRIPTION BU

C LIBEMP=-1 POUR VIDER BUFFER EN CAS ANOMALIE OU FIN TRAVAIL.

14 IF(K)500,500,16

16 LIBEMP=-LIBEMP

KLIM1=K



```
GO TO 102
11 IF(I-1)200,15,200
15 CONTINUE
C TESTS SUR CAPACITE DU BUFFER
  IF(N-4)13,12,12
13 NLIGNE=7
  GO TO 20
12 NLIGNE=N+3
20 IF(NCOMPT-NLIGNE)27,30,30
30 K=K+1
  IF(K-20)32,32,31
32 NCOMPT=NCOMPT-NLIGNE
  GO TO 200
31 LIBEMP=2
C LIBEMP=2 INSCR 1 PAGE PUIS CHARGER UNE APPROXIMATION
  IF(NBUFE-1)34,33,28
34 KLIM1=K-1
33 KEX=K-1
  GO TO 110
27 NBUFE=NBUFE+1
  IF(NBUFE-2)29,28,28
29 KLIM1=K
  NCOMPT=LIG
  GO TO 30
28 KLIM2=K
  LIBEMP=3
C LIBEMP=3 INSCR 2 PAGES PUIS CHARGER UNE APPROXIMATION
```

```
GO TO 110
100 CONTINUE
C   IL S AGIT D UNE INSCR PUIS RETOUR
C   COMBIEN DE PAGES PEUT-ON INSCRIRE
    IF(NBUFE-1)101,102,103
101 LIBEMP=0
    GO TO 500
102 KEX=K
    GO TO 110
103 KLIM2=K
    LIBEMP=4
C   LIBEMP=0,1,4 PAS D INSCR,INSCR1,2 PAGES PUIS RETOUR
110 CONTINUE
    GO TO 111
200 CONTINUE
C   PREPARATION DU CHARGEMENT DU BUFFER
    CALL TRANSP(SIGNE,IDOUBL,IEXP,XXX)
C   CHARGEMENT
    DO 210 J=1,4
210 GBLOC(I,J,K)=XXX(J)
    GBLOC(I,5,K)=Y(I)
    IF(I-5)212,212,211
212 RBLOC(I,K)=TAMAUX(I)
211 IF(I-N)500,213,500
213 M=N+1
    NLIM(K)=N
    IF(N-4)214,216,215
```

214 DO 220 J=M,5

220 RBLOC(J,K)=TAMAUX(J)

GO TO 215

216 RBLOC(M,K)=TAMAUX(M)

215 GBLOC(M,5,K)=Y(M)

500 CONTINUE

RETURN

111 CONTINUE

C INSCRIPTION DES COEF DOUBLE PRECISION ET POINTS CRITIQUES

LIGNE=0

KDEB=1

KFIN=KLIM1

112 CONTINUE

WRITE OUTPUT TAPE 6,7999

DO 150 K=KDEB,KFIN

WRITE OUTPUT TAPE 6,8006

NL=NLIM(K)

DO 140 L=1,NL

IF(L-5)120,120,130

120 WRITE OUTPUT TAPE 6,8000,PREC(L),RBLOC(L,K),(GBLOC(L,J,K),J=1,5)

GO TO 140

130 WRITE OUTPUT TAPE 6,8004,(GBLOC(L,J,K),J=1,5)

140 CONTINUE

ML=NL+1

ML1=ML+1

IF(NL-4)141,142,143

141 WRITE OUTPUT TAPE 6,8001,PREC(ML),RBLOC(ML,K),GBLOC(ML,5,K),(PREC(

```
1J),RBLOC(J,K),J=ML1,5)
NL=4
GO TO 149
142 WRITE OUTPUT TAPE 6,8002,PREC(ML),RBLOC(ML,K),GBLOC(ML,5,K)
GO TO 149
143 WRITE OUTPUT TAPE 6,8003,GBLOC(ML,5,K)
149 LIGNE=LIGNE+NL+3
150 CONTINUE
CALL TITRE(2)
LIGNE=0
GO TO(300,300,153,154),LIBEMP
153 LIBEMP=2
GO TO 160
154 LIBEMP=1
160 KFIN=KLIM2
KDEB=KLIM1+1
GO TO 112
300 CONTINUE
350 CONTINUE
C REINITIALISATION
IF(NBUFE-2)351,352,352
352 NBUFE=0
NCOMPT=LIG
353 K=0
GO TO 361
351 NBUFE=0
IF(KEX-KLIM1)353,353,354
```

```

354 K=KEX-KLIM1
C   TRANSLATION
   DO 360 L=1,K
   LK=L+KLIM1
   NLIM(L)=NLIM(LK)
   NL=NLIM(L)
   DO 370 I1=1,NL
   DO 380 J=1,5
   GBLOC(I1,J,L)=GBLOC(I1,J,LK)
   RBLOC(J,L)=RBLOC(J,LK)
380 CONTINUE
370 CONTINUE
   ML=NL+1
   GBLOC(ML,5,L)=GBLOC(ML,5,LK)
360 CONTINUE
361 IF(LIBEMP-1)500,500,399
399 K=K+1
   GO TO 32
7999 FORMAT(1H0,20X,29HCOEFFICIENTS DOUBLE PRECISION,3X,16HPOINTS CRIT!
1QUES)
8000 FORMAT(2X,A3,1PE13.6,5X,4A6,3X,E15.6)
8001 FORMAT(2X,A3,1PE13.6,32X,E15.6/(2X,A3,E13.6))
8002 FORMAT(2X,A3,1PE13.6,32X,E15.6)
8003 FORMAT(50X,1PE15.6)
8004 FORMAT(23X,4A6,3X,1PE15.6)
8006 FORMAT(//)
   END

```

SUBROUTINE COMMEN

CCOMMEN INSCRIPTION DE LA LEGENDE RELATIVE A PAGE RESULTATS CORRECTS

WRITE OUTPUT TAPE 6,100

100 FORMAT(1H1/1H0/14X,40HAPPROXIMATION RATIONNELLE D UNE FONCTION)

WRITE OUTPUT TAPE 6,101

101 FORMAT(1H0/1H0/22X,1HN,9X,3HN-1/17X,5HC(1)Y,2X,1H+,2X,5HC(2)Y,4X,1  
1H+,6H ... +,2X,6HC(N+1))

WRITE OUTPUT TAPE 6,102

102 FORMAT(10X,7HR(Y) = ,36(1H-))

WRITE OUTPUT TAPE 6,103

103 FORMAT(21X,1HD,11X,3HD-1,/19X,2H1Y,3X,9H+ C(N+2)Y,3X,7H+ ... +,1X,  
18HC(N+D+1))

WRITE OUTPUT TAPE 6,104

104 FORMAT(1H0/1H0/30X,12HCOEFFICIENTS/28X,16HDOUBLE PRECISION,2X,16HP  
10INTS CRITIQUES/)

WRITE OUTPUT TAPE 6,105

105 FORMAT(1H0,4X,20HA = BORNE INFERIEURE,9X,4HC(1),14X,6HY(1)=A)

WRITE OUTPUT TAPE 6,106

106 FORMAT(1H0,4X,20HB = BORNE SUPERIEURE,9X,4HC(2),14X,4HY(2))

WRITE OUTPUT TAPE 6,107

107 FORMAT(1H0,4X,19HE = ERREUR MAXIMALE,10X,4HC(3),14X,4HY(3))

WRITE OUTPUT TAPE 6,108

108 FORMAT(1H0,4X,20HN = DEGRE NUMERATEUR,9X,4HC(4),14X,4HY(4))

WRITE OUTPUT TAPE 6,109

109 FORMAT(1H0,4X,22HD = DEGRE DENOMINATEUR,7X,4HC(5),14X,4HY(5))

WRITE OUTPUT TAPE 6,110

110 FORMAT(1H0,34X,1H.,17X,1H./1H0,34X,1H.,17X,1H./1H0,34X,1H.,17X,1H.

1/1H0,34X,1H.,17X,1H.)

WRITE OUTPUT TAPE 6,111

111 FORMAT(1H0,31X,8HC(N+D+1),10X,8HY(N+D+1)/1H0,49X,10HY(N+D+2)=B)

RETURN

END

\* LABEL

SUBROUTINE INSD(NB,X,A,NC,N,SIGNE,K)

CINSD PREPARATION DE L INSCRIPTION DOUBLE PRECISION DES COEFFICIENTS

COMMON MODINS

D DIMENSION X(1)

DIMENSION TABLE(10),FMOD(10),MOD(10)

DIMENSION N(30)

TABLE(1)=6H011,1H

TABLE(2)=6H111,1H

TABLE(3)=6H211,1H

TABLE(4)=6H311,1H

TABLE(5)=6H411,1H

TABLE(6)=6H511,1H

TABLE(7)=6H611,1H

EQUIVALENCE (MOD,FMOD)

FMOD(1)=A

FMOD(2)=6HX,A3,1

FMOD(3)=TABLE(NC-9)

B FMOD(4)=257331033460

K=0

D COEF=1.

D IF(X)20,10,10

```
20 SIGNE=3H-0.
   GO TO 30
10 SIGNE=3H+0.
D 30 IF (ABS F(X)-1.)40,50,60
   50 GO TO 80
D 40 RAIS=0.1
   NR=-1
D   IF (ABS F(X)-0.1)70,75,75
D 75 RAIS=1.
D   NR=0
   GO TO 70
D 60 RAIS=10.
   NR=+1
D 70 COEF=COEF*RAIS
   K=K+NR
D   Y=X/COEF
D   IF (ABS F(Y)-1.)80,80,90
90 GO TO 70
80 DO 100 L=1,16
D   RAIS=10.
D   C=Y*RAIS
D   N(L)=C
   B=N(L)
D   Y=C-B
100 CONTINUE
   IF (MOD INS)210,95,210
95 IF (NB)200,201,202
```



```
200 PRINT MOD,SIGNE,(N(I),I=1,NC),K
201 PUNCH MOD,SIGNE,(N(I),I=1,NC),K
202 WRITE OUTPUT TAPE NB,MOD,SIGNE,(N(I),I=1,NC),K
210 CONTINUE
```

```
RETURN
```

```
END
```

```
* LABEL
```

```
SUBROUTINE TEST2(Y,M,K)
```

```
CTEST2 CONTROLE DE LA CROISSANCE STRICTE DES POINTS CRITIQUES
```

```
DIMENSION Y(16)
```

```
K=0
```

```
DO 1 I=2,M
```

```
IF(Y(I)-Y(I-1))2,2,1
```

```
2 K=1
```

```
1 CONTINUE
```

```
RETURN
```

```
END
```

\* FAP  
COUNT 32  
LBL ACCRO,1

\*ACCRO SAUVEGARDE OU RESTAURATION DE RESLIN

\* CALCUL DE L ADRESSE DU TRANSFERT ANOMALIE

ENTRY ACCRO  
ENTRY ACCRO2  
ACCRO SXD X4,4  
REM SAUVEGARDE DE RESLIN  
CLA :RESLIN  
ADD =450  
STA 1A  
STA 2A  
AXT 450,4  
1A CLA \*\*,4  
STO STOC,4  
TIX 1A,4,1  
TRA 1B  
REM RESTAURATION DE RESLIN  
AXT 450,4  
CLA STOC,4  
2A STO \*\*,4  
TIX \*-2,4,1  
1B CLA \*  
SUB =4  
ANA MASK  
ORA MASK+1

|        |       |             |
|--------|-------|-------------|
|        | STO   | MEM         |
|        | CALL  | DIAGNO, MEM |
|        | LXD   | X4, 4       |
|        | TRA   | 1, 4        |
| ACCRO2 | LXD   | X4, 4       |
|        | TRA   | 1, 4        |
| MEM    | PZE   |             |
| X4     | PZE   |             |
| MASK   | OCT   | 77777       |
|        | TRA   |             |
| STCC   | BES   | 450         |
|        | END   |             |
| *      | FAP   |             |
|        | COUNT | 14          |
|        | LBL   | COMPAR, 1   |

\*COMPAR DETERMINATION ET SUPPRESSION DES CHIFFRES NON SIGNIFICATIFS  
 \* DES COEFFICIENTS.

\* COMPARAISON DE 2 NOMBRES FLOTTANTS VOISINS A ET B.  
 \* SUPPRESSION DES N-1 POSITIONS OCTALES DROITES DIFFERENT  
 \* ET STOCKAGE DANS A

|        |       |           |
|--------|-------|-----------|
|        | ENTRY | COMPAR    |
| COMPAR | SXD   | X1, 1     |
|        | STI   | RESTS I   |
|        | LDI*  | 1, 4      |
|        | IIS*  | 2, 4      |
|        | AXT   | 9, 1      |
| 1B     | OFT   | MASK+9, 1 |

|        |       |                                                        |
|--------|-------|--------------------------------------------------------|
|        | TRA   | 1A                                                     |
|        | TIX   | 1B, 1, 1                                               |
| 1A     | CAL   | MASK+9, 1                                              |
|        | ANS*  | 1, 4                                                   |
| *      |       | NOMBRE DE CHIFFRES SIGNIFICATIFS+8(DECIMAUX)           |
|        | PXD   | 0, 1                                                   |
|        | AXT   | 0, 1                                                   |
|        | LDQ   | CORREC+2                                               |
|        | TLQ   | 2A                                                     |
|        | AXT   | 1, 1                                                   |
| 2A     | SSM   |                                                        |
|        | ADD   | CORREC+1, 1                                            |
|        | STD*  | 3, 4                                                   |
|        | LXD   | X1, 1                                                  |
|        | LDI   | RESTSI                                                 |
|        | TRA   | 4, 4                                                   |
| MASK   | OCT   | 777700000000, 777770000000, 777777000000, 777777700000 |
|        | OCT   | 777777770000, 777777777000, 777777777700, 777777777770 |
|        | OCT   | 777777777777                                           |
| CORREC | OCT   | 21000000, 22000000, 30000000                           |
| RESTSI | PZE   |                                                        |
| X1     | PZE   |                                                        |
|        | END   |                                                        |
| *      | FAP   |                                                        |
|        | COUNT | 25                                                     |
|        | LBL   | BINDCB, 1                                              |
|        | ENTRY | BINDCB                                                 |

\*BINDCB CONVERSION EN DCB DE L EXPOSANT BINAIRE DU COEFFICIENT

|        |       |                      |
|--------|-------|----------------------|
| BINDCB | SXD   | X2,2                 |
|        | CLA*  | 1,2                  |
|        | ARS   | 18                   |
|        | TPL   | 1A                   |
|        | SSP   |                      |
|        | XCA   |                      |
|        | CAL   | CONST+1              |
|        | TRA   | 5A                   |
| 1A     | XCA   |                      |
|        | CAL   | CONST+2              |
| 5A     | SLW*  | 2,2                  |
|        | PXD   |                      |
|        | DVP   | CONST                |
|        | RQL   | 6                    |
|        | STQ   | AUX                  |
|        | ADD   | AUX                  |
|        | ALS   | 6                    |
|        | ORS*  | 2,2                  |
|        | LXD   | X2,2                 |
|        | TRA   | 3,2                  |
| CONST  | OCT   | 12,40000060,60000060 |
| AUX    | PZE   |                      |
| X2     | PZE   |                      |
|        | END   |                      |
| *      | FAP   |                      |
|        | COUNT | 70                   |

LBL TRANSP,1

ENTRY TRANSP

\*TRANSP TRANSPOSITION EN 4 MEMOIRES DCB DES COEFFICIENTS DOUBLE PRECISIO

TRANSP SXD X4,4

SXA 40A,1

SXA 40A+1,2

CAL\* 1,4

ARS 18

ALS 18

SLW\* 4,4

CAL 3,4

STA IEXP

STA 25A+1

CAL 2,4

ADD =1

STA 1A

STA 20A

CAL 4,4

STA 1B

ADD =1

STA 3A

STA 3B

STA 20C

STA 30A

AXT 3,1

1B STZ \*\*,1

XXX,1

TIX 1B,1,1

|     |      |           |            |
|-----|------|-----------|------------|
|     | AXT  | 1,4       |            |
|     | AXT  | 54,2      |            |
| 1A  | CLA  | ** ,1     |            |
|     | SSP  |           |            |
| 2A  | LGR  | 60,2      |            |
|     | TXH  | 3A,2,36   |            |
|     | XCL  |           |            |
| 3B  | ORS  | ** ,4     | XXX+1,4    |
|     | TRA  | 4A        |            |
| 3A  | ORS  | ** ,4     | XXX+1,4    |
|     | TXH  | 4A,2,42   |            |
|     | TXI  | 4A,4,1    |            |
| 4A  | TNX  | 10B,2,6   |            |
| 10A | TXI  | 1A,1,1    |            |
| 10B | TXI  | *+1,4,1   |            |
|     | TXH  | 20B,4,3   |            |
|     | AXT  | 36,2      |            |
|     | TRA  | 10A       |            |
| 20B | TXI  | 20A,1,1   |            |
| 20A | CAL  | ** ,1     | IDOUBL+1,1 |
|     | ORA  | =0250000  |            |
|     | LGL  | 12        |            |
| 20C | SLW  | ** ,4     | XXX+1,4    |
|     | CLA* | IEXP      |            |
|     | TZE  | 21A       |            |
| 25A | TSX  | :BINDCB,2 |            |
|     |      | **        |            |

|     |     |         |           |
|-----|-----|---------|-----------|
|     |     | EXP     |           |
|     | CAL | EXP     |           |
|     | TRA | 30A     |           |
| 21A | CAL | =H00 00 |           |
| 30A | ORS | ** , 4  | XXX+1 , 4 |
| 40A | AXT | ** , 1  |           |
|     | AXT | ** , 2  |           |
|     | LXD | X4 , 4  |           |
|     | TRA | 5 , 4   |           |

IEXP PZE

EXP PZE

X4 PZE

END

\* FAP

COUNT 20

LBL (FPT), 1

\*(FPT) PASSAGE A LA RECHERCHE APPROXIMATION SUIVANTE EN CAS

\* DEPASSEMENT DE CAPACITE

ENTRY (FPT)

(FPT) STI SI

LDI 0

LFT 2

CLM

LNT 6

TRA \*+2

TRA SUR

LFT 1



|     |       |         |
|-----|-------|---------|
|     | LDQ   | =0      |
|     | LNT   | 5       |
|     | TRA   | *+2     |
|     | TRA   | SUR     |
|     | LDI   | SI      |
|     | TRA*  | 0       |
| SUR | NOP   |         |
|     | CLA   | :ACCR02 |
|     | LDI   | SI      |
|     | STA   | *+1     |
|     | TRA   | **      |
| SI  | PZE   |         |
|     | END   |         |
| *   | FAP   |         |
|     | COUNT | 350     |
|     | LBL   | RESLI,1 |

\*RESLIN RESOLUTION SYSTEME LINEAIRE

|        | ENTRY | RESLIN    |
|--------|-------|-----------|
| RESLIN | SXA   | S0376,1   |
|        | SXA   | S0376+1,2 |
|        | SXA   | S0376+2,4 |
|        | DCT   |           |
|        | NOP   |           |
|        | CLA*  | 1,4       |
|        | STD   | S0167     |
|        | STO   | S0422     |
|        | SUB   | S0700     |

|      |       |
|------|-------|
| STD  | S0322 |
| LDQ* | 7,4   |
| MPY* | 8,4   |
| ARS  | 1     |
| STO  | S0425 |
| CLA* | 7,4   |
| ADD  | S0700 |
| ARS  | 18    |
| STO  | S0702 |
| LDQ* | 7,4   |
| MPY* | 2,4   |
| ARS  | 1     |
| STO  | S0430 |
| CLS* | 7,4   |
| ARS  | 18    |
| ADD  | S0430 |
| STO  | S0430 |
| SUB  | S0137 |
| STO  | S0703 |
| CLA* | 1,4   |
| ARS  | 18    |
| ADD  | S0430 |
| STO  | S0705 |
| CLA* | 7,4   |
| STO  | S0706 |
| STD  | S0130 |
| STD  | S0220 |

|      |       |
|------|-------|
| STD  | S0302 |
| STD  | S0327 |
| STD  | S0364 |
| STD  | S0365 |
| CLA* | 2,4   |
| STD  | S0704 |
| ALS  | 1     |
| STO  | S0424 |
| SUB  | S0701 |
| STD  | S0222 |
| STD  | S0303 |
| CLA  | 3,4   |
| STA  | S0205 |
| STA  | S0212 |
| ADD  | S0137 |
| STA  | S0122 |
| STA  | S0127 |
| STA  | S0152 |
| STA  | S0160 |
| STA  | S0325 |
| STA  | S0360 |
| STA  | S0352 |
| STA  | S0353 |
| STA  | S0356 |
| SUB  | S0425 |
| STA  | S0153 |
| STA  | S0161 |
| STA  | S0326 |

|     |       |
|-----|-------|
| STA | S0351 |
| STA | S0354 |
| STA | S0355 |
| STA | S0361 |
| SUB | S0137 |
| STA | S0206 |
| STA | S0213 |
| CLA | 4,4   |
| ADD | S0137 |
| STA | S0217 |
| STA | S0230 |
| STA | S0260 |
| STA | S0305 |
| STA | S0324 |
| ADD | S0137 |
| STA | S0216 |
| STA | S0227 |
| STA | S0257 |
| STA | S0304 |
| STA | S0323 |
| CLA | 5,4   |
| ADD | S0137 |
| STA | S0075 |
| STA | S0177 |
| STA | S0201 |
| STA | S0202 |
| STA | S0204 |

STA S0335  
STA S0367  
STA S0371  
STA S0372  
STA S0374  
LXD S0422,1  
S0074 PXD 0,1  
S0075 STO 0,1  
TIX S0074,1,1  
STZ S0635  
S0100 CLA S0635  
ADD S0700  
STO S0635  
CAS S0422  
S0104 HTR  
TRA S0205  
CLA S0422  
SUB S0635  
ADD S0700  
STD S0131  
AXT 1,1  
AXT 1,2  
STZ S0430  
STZ S0431  
S0121 CLM  
S0122 ADM 0,2  
SUB S0430

|       |     |             |           |
|-------|-----|-------------|-----------|
|       | TMI | S0127+2     |           |
|       | SXD | S0431, 1    |           |
|       | CLM |             |           |
| S0127 | ADM | 0, 2        |           |
|       | STO | S0430       |           |
|       | TXI | *+1, 1, 1   |           |
| S0130 | TXI | *+1, 2, 0   |           |
| S0131 | TXL | S0121, 1, 0 |           |
|       | CLA | S0430       |           |
|       | TZE | S0402       | PIVOT NUL |
|       | LXD | S0431, 4    |           |
|       | CLA | S0700       |           |
|       | CAS | S0431       |           |
| S0137 | HTR | 1           |           |
|       | TRA | S0205       |           |
|       | CLA | S0431       |           |
|       | SUB | S0700       |           |
|       | CHS |             |           |
|       | XCA |             |           |
|       | MPY | S0706       |           |
|       | ARS | 1           |           |
|       | ADM | S0122       |           |
|       | STA | S0156       |           |
|       | STA | S0164       |           |
|       | SUB | S0425       |           |
|       | STA | S0157       |           |
|       | STA | S0165       |           |

|           |           |
|-----------|-----------|
| AXT       | 1,2       |
| S0152 CLA | 0,2       |
| S0153 LDQ | 0,2       |
| STO       | S0430     |
| STQ       | S0431     |
| S0156 CLA | 0,2       |
| S0157 LDQ | 0,2       |
| S0160 STO | 0,2       |
| S0161 STQ | 0,2       |
| CLA       | S0430     |
| LDQ       | S0431     |
| S0164 STO | 0,2       |
| S0165 STQ | 0,2       |
| TXI       | *+1,2,1   |
| S0167 TXL | S0152,2,0 |
| PXD       | 0,4       |
| SUB       | S0700     |
| ADD       | S0635     |
| PDX       | 0,1       |
| CLA       | S0635     |
| PDX       | 0,2       |
| S0177 CLA | 0,2       |
| STO       | S0430     |
| S0201 CLA | 0,1       |
| S0202 STO | 0,2       |
| CLA       | S0430     |
| S0204 STO | 0,1       |

|       |     |           |
|-------|-----|-----------|
| S0205 | CLA |           |
| S0206 | LDQ |           |
|       | STO | S0435     |
|       | STQ | S0436     |
|       | LXD | S0706,1   |
|       | AXT | 2,2       |
| S0212 | CLA | 0,1       |
| S0213 | LDQ | 0,1       |
|       | TSX | S0516,4   |
| S0216 | STO | 0,2       |
| S0217 | STQ | 0,2       |
| S0220 | TXI | *+1,1,0   |
| S0221 | TXI | *+1,2,2   |
| S0222 | TXL | S0212,2,0 |
| S0223 | CLA | S0427     |
|       | LDQ | S0104     |
|       | TSX | S0516,4   |
| S0227 | STO | 0,2       |
| S0230 | STQ | 0,2       |
|       | AXT | 1,1       |
| S0232 | PXA | 0,1       |
|       | SXA | S0320,1   |
|       | CHS |           |
|       | ADM | S0205     |
|       | STA | S0263     |
|       | STA | S0273     |
|       | STA | S0310     |



|       |     |          |
|-------|-----|----------|
|       | STO | S0435    |
|       | SUB | S0425    |
|       | STA | S0264    |
|       | STA | S0274    |
|       | STA | S0311    |
|       | CLA | S0435    |
|       | ADD | S0702    |
|       | STA | S0277    |
|       | SUB | S0425    |
|       | STA | S0300    |
|       | CLA | S0435    |
|       | SUB | S0703    |
|       | STA | S0316    |
|       | SUB | S0425    |
|       | STA | S0317    |
| S0256 | LXD | S0706, 1 |
|       | AXT | 2, 2     |
| S0257 | CLA | 0, 2     |
| S0260 | LDQ | 0, 2     |
|       | STO | S0435    |
|       | STQ | S0436    |
| S0263 | CLA |          |
| S0264 | LDQ |          |
|       | TSX | S0462, 4 |
|       | CHS |          |
|       | LRS |          |
|       | STO | S0435    |

|           |           |
|-----------|-----------|
| STQ       | S0436     |
| S0273 CLA | 0,1       |
| S0274 LDQ | 0,1       |
| TSX       | S0437,4   |
| S0277 STO | 0,1       |
| S0300 STQ | 0,1       |
| TXI       | *+1,2,2   |
| S0302 TXI | *+1,1,0   |
| S0303 TXL | S0257,2,0 |
| S0304 CLA | 0,2       |
| S0305 LDQ | 0,2       |
| STO       | S0435     |
| STQ       | S0436     |
| S0310 CLA |           |
| S0311 LDQ |           |
| TSX       | S0462,4   |
| CHS       |           |
| LRS       |           |
| S0316 STO |           |
| S0317 STQ |           |
| S0320 AXT | 0,1       |
| TXI       | *+1,1,1   |
| S0322 TXL | S0232,1,0 |
| LXA       | S0705,1   |
| LXD       | S0424,2   |
| S0323 CLA | 0,2       |
| S0324 LDQ | 0,2       |

|       |     |           |
|-------|-----|-----------|
| S0325 | STO | 0,1       |
| S0326 | STQ | 0,1       |
| S0327 | TIX | *+1,1,0   |
|       | TIX | S0323,2,2 |
|       | CLA | S0635     |
|       | SUB | S0422     |
|       | TNZ | S0100     |
|       | STZ | S0430     |
|       | LXD | S0422,1   |
| S0333 | SXD | S0430,1   |
|       | LXD | S0430,2   |
| S0335 | CLA | 0,2       |
|       | SUB | S0430     |
|       | TZE | S0342     |
|       | TIX | S0335,2,1 |
| S0341 | HTR | 2         |
| S0342 | PXD | 0,2       |
|       | SXD | S0435,2   |
|       | SUB | S0430     |
|       | TZE | S0375     |
|       | PXA | 0,1       |
|       | PAX | 0,4       |
|       | SXA | S0366,1   |
|       | LXD | S0704,1   |
| S0360 | CLA | 0,4       |
|       | STO | S0430     |
| S0351 | CLA | 0,4       |

|       |      |           |
|-------|------|-----------|
|       | STO  | S0431     |
| S0352 | CLA  | 0,2       |
| S0353 | STO  | 0,4       |
| S0354 | CLA  | 0,2       |
| S0355 | STO  | 0,4       |
|       | CLA  | S0430     |
| S0356 | STO  | 0,2       |
|       | CLA  | S0431     |
| S0361 | STO  | 0,2       |
| S0364 | TXI  | *+1,4,0   |
| S0365 | TXI  | *+1,2,0   |
|       | TIX  | S0360,1,1 |
| S0366 | AXT  | 0,1       |
|       | LXD  | S0435,2   |
| S0367 | CLA  | 0,1       |
|       | STO  | S0430     |
| S0371 | CLA  | 0,2       |
| S0372 | STO  | 0,1       |
|       | CLA  | S0430     |
| S0374 | STO  | 0,2       |
| S0375 | TIX  | S0333,1,1 |
| S0376 | AXT  | 0,1       |
|       | AXT  | 0,2       |
|       | AXT  | 0,4       |
|       | TRA  | 9,4       |
| S0402 | CLA  | S0700     |
|       | STO* | 6,4       |

TRA S0376

S0422 OCT 0

S0423 OCT 0

S0424 OCT 0

S0425 OCT 0

S0426 OCT 0

S0427 OCT 201400000000

BSS 7

S0437 SXA S0556,2

SXA S0557,4

STQ S0432

LDQ S0435

TSX S0561,2

STO S0435

STQ S0434

CLA S0432

LDQ S0436

TSX S0561,2

LDQ S0434

TSX S0561,2

LDQ S0435

TSX S0561,2

TRA S0556

S0462 SXA S0556,2

SXA S0557,4

STO S0430

STQ S0431

LDQ S0436

TSX S0573,2

STO S0432

CLA S0431

LDQ S0435

TSX S0573,2

LDQ S0432

TSX S0561,2

STO S0432

CLA S0435

LDQ S0430

TSX S0573,2

STO S0434

CLA S0432

TSX S0561,2

LDQ S0434

TSX S0561,2

TRA S0556

S0516 SXA S0556,2

SXA S0557,4

STQ S0430

LDQ S0435

TSX S0610,2

STQ S0431

LDQ S0430

TSX S0561,2

LDQ S0435

TSX S0610,2  
STQ S0432  
CLA S0436  
LDQ S0435  
TSX S0610,2  
CLA S0431  
TSX S0573,2  
CHS  
LDQ S0432  
TSX S0561,2  
LDQ S0431  
TSX S0561,2  
S0556 AXT 0,2  
S0557 AXT 0,4  
TRA 1,4  
S0561 STQ S0433  
FAD S0433  
TRA 1,2  
S0573 STO S0433  
FMP S0433  
TRA 1,2  
S0610 STQ S0433  
FDP S0433  
DCT  
TRA S0402  
TRA 1,2  
S0635 OCT 0

S0430

S0431

S0432

S0433

S0434

S0435

S0436

S0700 HTR , , 1

S0701 HTR , , 2

S0702

S0703

S0704

S0705 HTR

S0706 HTR

END



```

* LABEL
SUBROUTINE EPR(Y,AE,CE,DE,IK,M)
CSIN1 APPROXIMATION RATIONELLE DE SINUS SIMPLE PRECISION
CEPR CALCUL DE F(Y) ET DE SES DERIVEES PREMIERE ET SECONDE
D DIMENSION Y(16),AE(16),CE(16),DE(16)
NP=1000
COEF=1./SQRTF(2.*3.141595)
FNP=NP+1
IF (IK)1000,5,15
5 DO 10I=1,M
PAS=Y(I)/FNP
AE(I)=1.+EXPF(-0.5*Y(I)*Y(I))
ZY=PAS
DO 6J=1,NP
AE(I)=AE(I)+EXPF(-0.5*ZY*ZY)
ZY=ZY+PAS
6 CONTINUE
AE(I)=COEF*AE(I)*PAS
10 CONTINUE
GO TO 1000
15 DO 20I=1,M
CE(I)=COEF*EXPF(-0.5*Y(I)*Y(I))
20 DE(I)=-Y(I)*CE(I)
1000 RETURN
END

```

\* DATA

BOSMOR IN            FONCTION SINUS.

5            +01

106000101

BOSMOR IN            FONCTION SINUS.

5            +01

106000001

BOSMOR IN            FONCTION SINUS.

5            +01

103060100

Annexe 5

~~~~~


- FLOYD A note on rational approximation
Math. Comput. 1960, 72-73
- FORSYTHE Numerical analysis and partial differential equations.
Survey in Applied Math. 5, Wiley New-York 1958
- FROBERG Rational Chebychev approximations of elementary functions.
B.I.T. 1, 1961, 4
- FROBERG Nordsam 1959, 223-228
- GOLDSTEIN-CHENEY A finite algorithm for the solution of linear equation
and inequalities and for Tchebycheff approximation of
inconsistent linear equations.
Pac. J. Math. 8, 1958, 415-427
- HASTINGS Rational approximation in high speed computing
Proc. Comput. Sem., December 1949, 57-61, Inter. Bus.
Mach. Corp. New-York 1951
- HASTINGS Approximations for digital computers
Princeton Univ. Press 1955, 201 p
- HASTINGS-HAYWARD-WOEG Approximation in numerical analysis : a report on study
Proc. Symp. Appl. Math. Vol 6, 77-81, A M S 1956
- HERZ Communication. 1^{er} Congrès AFCAL. 1960
Gauthier-Villard
- HORNECKER Approximations rationnelles voisines de la meilleure
approximation au sens de Tchebycheff.
C.R. Acad. Sci. Paris 249, 1959, 939 à 941
- HORNECKER Détermination approchée, à précision numérique élevée,
du polynôme de meilleure approximation d'ordre n , au
sens de Tchebycheff, d'une fonction bornée continue, sur
un segment fini.
C.R. Acad. Sci. Paris 245, 1958, 43-46

- PADE Sur la représentation approchée d'une fonction par des fractions rationnelles.
Ann. sci. ENS Paris Vol 9, 1892, 1-93 - Vol 16, 1899, 395-426
- REMEZ On methods for obtaining the best approximation of functions in the sense of Tchebycheff.
Ukrainian Acad. Sci. Kiev, 1935, Reviewed by SHCHAT in Bull Amer. Math. Soc. 44, 1938, 14-15
- REMEZ General computation methods for Tchebycheff approximation problems with real parameters entering linearly
Isdat. Akad. Nauk. Ukrainsk SSR Kiev 1957.
- RICE The Approximation of Functions. (Vol. 1)
Addison Wesley Publishing Co 1964
- SHENITZER Tchebycheff approximation of a continuous function by a class of functions.
J. Assoc. Comput. Mach. 4, 1957, 30-35
- STIEFEL Uber diskrete und lineare Tchebycheff Approximationen
November 1960, Numerische Mathematik 1, 1959, 1-28
- STIEFEL Note on Jordan elimination, linear programming and Tchebycheff approximation.
Numerische Mathematik 2, 1, 1960
- STONE Approximation of curves by line segments
Math. Comput. 1961, 40-47
- VOGHELIANTZ Generation of elementary function.
(Part I of relation - Wilf, Math. Methods for Digital Computer)

